

МИНИСТЕРСТВО ГЕОЛОГИИ СССР
МИНИСТЕРСТВО ГЕОЛОГИИ РСФСР
ИРКУТСКОЕ ПРОИЗВОДСТВЕННОЕ ГЕОЛОГИЧЕСКОЕ ОБЪЕДИНЕНИЕ

Уч.№ 037

ГОСУДАРСТВЕННАЯ ГЕОЛОГИЧЕСКАЯ КАРТА СССР

МАСШТАБА 1:200 000

СЕРИЯ БОДАЙБИНСКАЯ

Лист О-49-ХХVIII (Орколян)

Объяснительная записка

Составители: А.Н. Арсеньев, Ф.И. Иванов,
Ю.С. Тарасов, В.С. Англов

Редактор П.М. Хренов

Утверждено Научно-редакционным советом ВСЕГЕИ
22 апреля 1971 г., протокол №14

МОСКВА 1984

О ГЛАВЛЕНИЕ

Стр.

Введение	5
Геологическая изученность	6
Стратиграфия	11
Интузивные образования	38
Тектоника	58
Геоморфология	71
Полезные ископаемые	74
Подземные воды	87
Оценка перспектив района	88
Литература	90
Приложения	94

ВВЕДЕНИЕ

Территория листа 0-49-ХХVII, ограниченная координатами 56°40' – 57°20' с.ш. и 111°00' – 112°00' в.д., расположена в Мамско-Чуйском районе Иркутской области и в Северо-Байкальском аймаке Бурятской АССР.

Описываемый район расположен в Северо-Байкальском нагорье. Южная часть территории занята северными отрогами Верхнеангарского хребта и характеризуется альпинистскими формами рельефа с максимальными абсолютными отметками 726 м. В северном направлении рельеф постепенно выложивается и переходит в средние речные с абсолютными отметками 1100–835 м, а относительные превышения здесь достигают 300–500 м. Основной орографической единицей здесь является хребет Сындр, протягивающийся через центральный района в северо-восточном направлении.

Речная сеть района принадлежит системе р. Витим. Основными водными артериями являются реки Лев.Мама, Большой Чуй, Прав.Мама и Мама. Все они несудоходны и труднопроходимы даже для лодок – из-за быстрого мелкими бурными перекатами и порогами. Уклон русла р.Лев.Мамы, от устья р.Майчуды до устья р.Прав.Мамы (110 км), составляет 330 м, а р.Бол.Чуй от западной границы района до северной лежит 330 м, а р.Бол.Чуй от западной границы района до северной (80 км) – 120 м.

Климат района континентальный. Лето короткое, умеренно жаркое, зима длинная и холодная. Средняя годовая температура – минус 5–6°С. Среднее количество осадков в год 420 мм. Большая часть из них выпадает в осенне-зимний период. Снежный покров не превышает 0,5–0,7 м. Глубина промерзания грунта от I до I,5 м. Оттапливает грунт в середине июня.

Древесная растительность в районе крайне однообразна – склоны гор и долины рек покрыты зарослями лиственницы, пригодной для крепления горных выработок и для топлива. Население пункты на описываемой территории отсутствуют. Ближайший из них крупный

рудничий поселок - Горная Чуя расположается в 45 км от северной границы территории листа. Дороги отсутствуют. Имеются лишь вычные тропы по долинам основных крупных рек. По площади листа можно долететь от пос. Горная Чуя вертолетом, а также проехать по вычным тропам на лошадях и оленях. Степень обнаженности в северной части района плохая - вершины и склоны гор покрыты сплошным чехлом ледянистых россыпей. Коренные выходы редки и встречаются иногда по бортам долин рек и на вершинах гольцов. Обнаженность центральной и юго-восточной частей района хорошая.

ГЕОЛОГИЧЕСКАЯ ИЗУЧЕННОСТЬ

Начало исследований в регионе характеризуется собранием обширных сведений об орографии и горных породах района (Таскин, Кропоткин, 1890 г.). В 1890-1917 гг. исследования принимают более систематический характер, и в результате работ В.А.Обручева, П.И.Преображенского, В.К.Котульского, А.К.Мейстера и пр. были получены самые общие представления о геологическом строении на территории.

Далее в 20-40-х годах в связи с бурным развитием народного хозяйства и огромными промышленными перспективами Мамского района начались планомерные исследования края. В 1928-1929 гг. басейн рек Бол.Чуи, Лев.Мамы и Мамы был охвачен геологическими маршрутами В.Г.Дигтари. Итогом работ явилось издание сводной геологической карты масштаба 1:1 000 000, на которой мамская и байдынская толщи рассматривались как разновозрастные. В 1932 г. в верховых р.Мамы проводили геологические исследования В.Б.Домбровский, который выделил архейские сланцы, гнейсы и граниты; протерозойские горимы, граниты и сиениты; нижнекембрийские образования. В 1937 г. он составил геологическую карту

Северо-Байкальского и Чатомского нагорий масштаба 1:200 000 и
обобщил весь объем геологических знаний этого времени ///. Вы-
сказанные им оригинальные идеи подтверждены последующими исследе-
ниями, в частности, положение и корреляция многих толщ.
П.Н. Смольский и А.К. Гусева в 1936 г. составили геологическую
карту масштаба 1:100 000, согласно которой наиболее древней лежа-
щей амфиболитовая толща района слияния рек Лев. и Прав. Мамы
ее перекрывает бурошатовая толща; была установлена золотонос-
кость бассейнов рек Мамы и Бол. Чуи.

Дальнейшие исследования шли в двух направлениях — шириной перспективы золотоносности (С.И.Другов, 1941—1943, 1945; Н.П.Михеев и В.А.Глоба, 1949—1950) и следоносности района (В.М.Та-

евский, 1941, 1943; П.Н.Сучков, 1945; Г.А.Саргас, 1949).
В 1949 г. на планции листа 0-49-ХХIII проводил геологический
съемку масштаба 1:200 000 В.М.Таевский /36/. По его мнению, по-
роды, распространенные в районе, смыты в крупную асимметричную
синклиниаль и относятся к нижнему протерозою. В свете современ-
ных требований к картам масштаба 1:200 000 его карта в 1964 г.
была признана некондиционной.
На территории листа проведены государственная геологиче-
ская съемка масштаба 1:200 000, поисково-съемочные работы мас-
штаба 1:50 000, а также зоротехнические работы
масштаба

1:25 000.
В 1955 г. С.И.Дутовым составлена геологическая карта северной части Байкало-Латомского нагорья в масштабе 1:500 000, отражавшая принципы двухчленного деления проморозов.

В 1957 г. была опубликована радиоуглеродная датировка находок из погребения № 10 на могильнике "Городище северо-восточной части Северо-Байкальского нагорья" /3/. Авторами выделяется мамский комплекс позднеархейского — раннепротерозойского возраста, занимавший северную часть территории листа 049-ХХIII.

с 1957 по 1959 г. в верхней части Бургальской зоны проводилось петрографическое изучение массивов щелочных пород Бургала и Сыннар, которые были детально расщеплены, на отдельных участках была установлена повышенная концентрация радиоактивных элементов, редких земель, ниобия, циркония, титана и глинозема.

В 1959 г. Л.И.Самол опубликовал геологическую карту Байкальской горной страны масштаба 1:500 000 /15/. Манская толща на этой карте показана как самостоятельная серия раннепротерозойского возраста. От нее отделена Дейн-Уранская подсерия верхнего протерозоя.

В этом же году на основании исследований, проведенных в 1953-1958 гг. на территории листов 0-49-ХХII и частично на 0-49-ХХIII, В.М. Таевским и В.К. Головенком была предложена новая схема стратиграфии, тектоники и математизма Менской кристаллической полосы и прилегающих к ней территорий. Они выделяют чуйскую толщу (кильянская подсерия) нижнего протерозоя и тектоническую серию среднего протерозоя. Манскую толщу они относят к патомской серии верхнего протерозоя с последующим дробным делением ее на отдельные свиты, составляющие манскур, кадамкаускую и болдинскую подсерии единой возрастной формации. Чуйско-Кодарский, угольканский и муйский интрузивные комплексы отнесены

ни к нижнему протерозою, а Мамско-Форонский – к верхнему протерозою. Установлена граница потенциальной сложности. Стратиграфическая схема являлась основой для легенды Боладинской серии листов масштаба 1:200 000. Структуру района они рассматривали как крупный синклиниорий. Песчано-сланцево-карбонатная толща, развитая на правобережье р.Мамы, В.М.Таевским параллелизуется и сопоставляется с кварцит-амфиболитовой чукчинской свитой северо-западного крыла синклиниория.

В эти же и последующие годы (с 1958 по 1963 г.) проводился картирование территории смежных с севера и востока листов в масштабе 1:200 000. Л.В.Ревякин /8/, Ю.К.Барзалов /2/ и Б.П.Кудинов /11/ составили карты в соответствии с отмеченной схемой. Ими выделяются Чуйская свита нижнего протерозоя, тепторгинская серия среднего протерозоя и залегающая в лице Мамского синклиниория патомская серия верхнего протерозоя. Все подразделения протерозоя отделены друг от друга стратиграфическими несогласиями. Правда, следует отметить, что достоверных несогласных взаимоотношений между чукчинской свитой и ниже- и вышележащими породами авторами нигде установлено не было.

Итогом геологического изучения территории явилось опубликование Л.И.Салопом в 1962 г. геологической карты Байкальской горной области масштаба 1:1 500 000 и двухтомного труда "Геология Байкальской горной области" /17/. Автор выделяет нерунд-канскую свиту нижнего протерозоя, а кадаликскую и делюн-урданскую подсерии относит к верхнему протерозою. Образования среднего протерозоя здесь отсутствуют. Структура района отвечает крупному стromбульному синклиниорию.

В 1962–1963 гг. в бассейне р.Лев.Мама проводились поисково-съемочные работы масштаба 1:50 000 под руководством В.Г.Филатова, И.Ф.Банинова /27/. Ими был закартирован, расчищен и опиcкован Сынърский массив сиенитов.

В 1964 г. заканчивается геологическое картирование в масштабе 1:200 000 смежных к югу и юго-западу листов 0-49-ХХII (автор В.И.Дутченко), 0-49-ХХIII (автор В.В.Балханов) и 0-49-ХХII (автор П.Б.Ледякин). Эти исследователи выделяют образования нижнего протерозоя (мусская серия), среднего (акитанская и тепторгинская серии) и верхнего (патомская серия). Последняя расчленена на олокитскую, ондокскую, итникскую и сынърскую слоны. Установлено, что олокитская свита с угловым и стратиграфически несогласием залегает на подстилающих породах, а также свитах патомской серии. Породы патомской серии, их взаимоотно-

шения между собой и подстилающими комплексами, закартированные геологами БГУ, были прослежены площадным геологическим картированием масштаба 1:50 000 по северной границе листа 0-49-ХХII. При этом выяснилась стратиграфическая и структурная неувязка с листами 0-49-ХХII /2/ и 0-49-ХХIII /19/. Последние, исходя из идеи симметричного Мамского синклиниория, помешали отложения олокитской и ондокской свит внизы патомской серии, хотя в действительности они слагают ее среднюю часть.

В 1964 г. Н.И.Фомин и В.Л.Тихонов /40/ летально обследовали скальные обнажения по р.Маме. По их представлениям, конгломератовая томпа, ранее относимая к базальным слоям чукчинской серии, запрокинута и несогласно залегает на образованных мамской подсерии патомской серии, причем конгломераты содержат только подстилающих пород и в гальках известняков обнаружены остатки водорослей, аналогичных таковым из карбонатных отложений патомской серии. Таким образом, авторы пришли к выводу, что отложения тепторгинской серии юго-восточного крыла Мамского синклиниория В.М.Таевского являются наиболее молодыми в разрезе патомской серии, выполняют самостоятельную синклинальную структуру и, возможно, соответствуют верхней подсерии патомской серии /40/. Впоследствии эти образования вошли в состав моноклинальной свиты, завершающей разрез верхнего протерозоя /29,38/.

Летом 1969 г. район посетил Л.И.Салоп, который сделал ряд маршрутов совместно с Ю.А.Тумольским. Л.И.Салоп пришел к выводу, что в основании чукчинской свиты имеются базальные метааркозы. Следовательно, чукчинская свита залегает несогласно на размытой поверхности нижнепротерозойских гранито-гнейсов. Юго-восточное крыло Мамского синклиниория В.М.Таевского /19,20/ трактуется Л.И.Салопом как отдельная синклиниальная, отделенная с северо-запада от структур Мамского синклиниория выходом эйерхильдов. Последние сопоставлены с мусской серией и отнесены к нижнему протерозою. Наконец, укажем, что территории листов 0-49-ХХII и 0-49-ХХIII на протяжении 1962–1966 гг. изучалась в масштабе 1:200 000 коллективом геологов под руководством А.Н.Артемьева. К концу этих работ сложилось очень затруднительное положение, так как к этому времени на все смежные площади были уже составлены геологические карты в соответствии с унифицированной легендой Боладинской серии, хотя стратиграфические схемы и структуры региона различными авторами понимались по-разному. Например, на северных листах изображен Мамский синклиниорий, крылья которого сложены отложениями тепторгинской серии среднего протерозоя, а пентратная часть – патомской серией верхнего протерозоя. На картах,

тимской, сибирянкинской, олекитской, ондокской, итыкитской, сибирской и монжанской свит.

На верхнем комплексе протерозоя с несогласием залегают отложения нижнего кембрия (терригенные холдининская и карбонатная коктинская свиты).

Четвертичные отложения представлены ледниками, водно-ледниковыми, аллювиальными, элювиальными и дельвиальными образованими.

ПРОТЕРОЗОИСКАЯ ТРУППА

НИЖНИЙ ПРОТЕРОЗОЙ

МУЙСКАЯ СЕРИЯ

Верхняя подсерия (PR_{1 m.2})

Образования верхней подсерии слагают изолированные участки в бассейнах рек Орколика, Большой Утюкта и по левобережью р.Прав.Мамы. Они представлены эфузивами южного и основного состава, их туфами и туфолестниками, гнейсами, сланцами, песчаниками и реже кристаллическими известняками.

Раннепротерозойский возраст этих пород определяется на том основании, что они составляют часть одноименной толщи, выделенной на соседних листах 0-49-ХХХ / Г1 / и 0-49-ХХХУ / З2/, которая отнесена к верхней подсерии Муйской серии нижнего протерозоя. В частности, по данным В.И.Дубченко, толща подстилается криоталлитическими известняками – вероятными аналогами бурундийской свиты /З2/. Последние в Средне-Битимской горной стране, по мнению Л.И.Салопа, являются верхами нижней подсерии Муйской серии нижнего протерозоя /Г7/. В бассейне р.Мамы она несогласно перекрывается отложениями верхнего протерозоя (монжанская свита), а в бассейне р.Укучкы – базальными конгломератами нижнего кембрия.

Ограничено распространение нижнепротерозойских образований, широкое развитие разрывных нарушений, следы обнаженности и отсутствие маркирующих горизонтов не позволяет составить достаточно достоверный разрез подсерии и точно определить ее мощность. Ориентировочно мощность толщи составляет 3500–4000 м, что находится в соответствии с гравиметрическими данными /З5/.

Магнитное поле образований верхней подсерии спокойное, не-высокой интенсивности порядка 50–150 гамм, магнитная восприимчи-

вость также низка и составляет 0–30·10⁻⁶ СТС /Г/. Содержание радиоактивных элементов по данным аэрогаммаэлектрометрии: уран – 8–10·10⁻⁴%, торий – 2–3·10⁻⁴% и калий – 1–2% /З5/.

Эфузивы кислого состава представлены кварцевыми порфирями, фельзитовыми порфирями и фельзитами. Это серые, розовато-серые и зеленовато-серые породы с нечетко обособленными порфировыми вкрашениями. Структура их бластолитовая, основная масса обладает лепидогранобластовой, реже фельзитовой структурой.

Порфировые вкрашенияны представлены кварцем, альбитизированным калиевым полевым шпатом, платиклазом и амфиболом. Состав основной массы кварц-серцит-полевощатовый с примесью хлорита, амфибата и карбоната.

Основные эфузивы распространены преимущественно по левобережью Орколика. Это массивные или грубосланцеватые породы зеленого цвета, обладающие сублитовой, переходящий в нематогранобластовую, изредка миндалекаменную структуру. Основные минералы – соссюритизированный платиклаз, амфиб, хлорит, сфеен, вторичная роговая обманка, титаномагнетит.

Пирокластические и осадочно-пирокластические породы отмечаются сравнительно редко, они тяготеют к бассейну р.Орколика.

Песчаники и сланцы образуют маломощные прослои в эфузивах. Это серые, обычно сланцеватые породы. Структуры бластосамитовые и бластолитомарматитовые, переходящие в гранобластовые. Обломочная часть песчаников представлена кварцем (до 60%), поглощенным шпатом, частичками гранитов, микророговых и амфиболов; сланцев – преимущественно кварцем.

Кристаллические известняки в виде горизонта мощностью около 60 м наблюдались по правобережью р.Укучкы среди зеленых ортоизандров. Внешне это массивные средневеристые желтовато-серые породы, структура их гранобластовая, наблюдаются новообразования трепомита.

В составе гнейсов преобладают биотит-роговообманковые, биотитовые и роговообманковые разновидности. В них широко проявляются процессы эпилитизации, карбонатизации и окварцевания.

Для гнейсов верхней подсерии характерна значительная метаморфизация. Наиболее сильно метаморфизованы породы, вмещающие тела гранитодор Муйского комплекса. Среди метамитотов преобладают полосчатые разновидности с четко обособленной гнейсовой составляющей. Метатект метамитотов представлен обычно лейкократовым гранитным материалом гранобластовой структуры.

Метаморфизм образований верхней подсерии в целом соответствует амфиболитовой фации, однако имеются участки, где отмечаются алипид-амфиболитовая и даже зеленоокрашенная фации. Весьма интенсивно выражены явления динамометаморфизма, особенно по правобережью р. Орколикана. При этом по ~~западу~~ развивается, наряду с бластомилонитами, разнообразные порфироиды, а также наблюдаются явления диафтореза.

СРЕДНИЙ ПРОТЕРОЗОЙ

А К И Т К А Н С К А Я С Е Р И Й

Породы, относимые к хибинскому (?) свидетельству (РН₂ № 67?), слагают узкую полосу у границы листа, в бассейнах рек Дальтугы и Ниж.Амгундакана. В составе свиты преимущественно развиты горфиры с повышенным количеством лиловых и

Хицеленская свита в этом районе выделена (В.И.Лученко) условно по аналогии с известной свитой Придатчской зоны. В пределах листа и на прилегающей к нему с юга территории свита повсеместно имеет тектонические контакты с образованиями ниже. То и верхнего протерозоя и кембрия /32/.

Вследствие ограниченного распространения и наличия разрывных нарушений разрез смыт и ее мощность не выяснена и принимается ориентировочно в 400 м.

Порфириты являются, как полагает С.Н.Лягчарев, нижней частью наблюдаемого разреза, так как они присутствуют в составе обломков в песчаниках этой же свиты /33/. Порфириты представляют собой афантитные зеленовато-серые породы массивной и мицеллекаменной текстуры. Наблюдается гипаломитовая, участками интерсертальная структура. Минеральный состав (в %): платикокз (35–40), хлорит (20–30), эпидот (20–25), магнетит (5–7).

Кварцевые породы в сольвинские случаи динамометаморфизованы и превращены в порфироиды. Реликты ак赖以生存ников представлены кварцем, альбитизированным птишоклазом, альбитом и калишпатом.

Песчаники полимиктовые липовые и вишневые, мелко- и крупночастицовые, имеют пластические структуры. Обломочная их часть составляет 65–80% и представлена зернами кварца, полевого шпата, обломками фельзитов, кварцевых породиров, эпидозитов, микролитов. Авторы считают возможным отнесение данных образований в состав мышковской серии.

Т е п т о р и н с к а я с е р и я

Чукалинская свита (PR_2 ? ζ) распространена на территории листа весьма ограниченно. Выходы пород ее известны лишь в истоках р. Чурво и не превышают площади 2 км². К ней условно отнесена толща метапесчаников, амфиболитов, кварцитов и кварц-сланцевых сланцев. Свита залегает выше город Муттов и согласно перекрывает отложениями витимской ской серии и согласно перекрывает отложениями витимской ск

Хорошо однажды и вскрытый горными выработками разрез свиты изучен Ю.А.Тымольским /39/ в верховых р.Чарво на сменном к западу листе. Здесь залегают (снизу):

Погоды чукотской свиты характеризуются аномальным повышенным магнитного поля до +500–600 гамм и радиоактивного поля до 20–26 мкР/ч. Особенно четко выделяется горизонт сидяно-кварцевых сланцев и гнейсов, содержание тория в котором достигает 20–30·10⁻⁴% /35/.

Биотитовые гнейсы представляют собой средне- и мелкозернистые породы с лепидогранобластовой, редко горизонтиобластовой структурой. Минеральный состав (в %): микроклин (40–60), кварц (25–40), биотит (5–15), птициолаз (5–10), в незначительных количествах присутствует мусковит. Аксессорные минералы – ортит, афен, апатит и монацит. Породы полностью перекристаллизованы, и лишь в редких случаях на смежной к западу территории удается установить реликты структур первично-осадочных пород и отнести эти породы к метаморфизованным аркозовым песчаникам /39/.

ребристо-серые породы лепидогранитомастиновой, пиритомастиновой и лепидогранитомастиновой структуры. Главные породообразующие минералы — кварц (50%) и мусковит (30-45%). В зависимости от соотношения в породе тех или других минералов выделяются следующие разновидности: гранат-мусковитовые, гранат-прусильные, ставролит-гранат-сподиевые, кордиерит-двуслюдильные и двуслюдильные.

сапонит. Аксессорные минералы: сфен, циркон, апатит, ортит, турмалин.

Кварциты – это серые, светло-серые мелко- и тонкозернистые шлифчатые породы, иногда имеющие облик перегодный к кварц-сланцевым сланцам. Структура гетеротранобластовая, лепидогранобластовая. Состоит они (в %): из кварца (70–85), биотита (5–8), мусковита (5–8), патинохлаза (5–8) и микроклина (5). В незначительных количествах в некоторых разновидностях присутствуют гранат и амфибол. Аксессорные минералы – сфен, ортит, альбит.

Амфиболиты представляют собой темно-зеленые, иногда почти черные плотные среднезернистые породы сланцеватой, пятнисто-сланцеватой текстур. Структура их немагнитранобластовая, реже порфиробластовая. Минеральный состав (в %): амфибол (60–90), кварц (10–15), патинохлаз (10–25), клинопроизит, эпилом, рудный минерал (3–5). Аксессорные минералы – алатит, циркон, рутил и ортит.

П а т и м о с к а я с е р и я

В составе патомской серии выделяются три подсерии: нижняя, средняя и верхняя. На территории листа 0-49-ХХХ распространение отложения всех трех подсерий.

Нижняя подсерия

Породы подсерии занимают значительную часть площади листа. В целом они представлены терригенно-карбонатными отложениями и подразделяются на две свиты: витимскую и сподланкинскую. Метаморфизм пород характеризуется хорошо выраженной зональностью и закономерно изменяется с севера-юга на юго-восток вкrest простирания толщи от оливинит-альмандиновой субфаации зеленосланцевой фаций до серпент-хоритовой субфаации зеленосланцевой фации. При этом изограды минералов – индикаторов (гранат, биотит, силиманит) пересекают главные складчатые структуры района и обнаруживают связь с областью распространения пегматитов.

В и т и м с к а я с в и т а ($PR_3^{v,f}$). Породы свиты слагают левобережье р.Бол.Чуй, охватываю водораздел рек Чарво – Чарвакан – Дерасо. Далее они переходят на правый берег долины р.Бол.Чуй и уходит за пределы территории. В северо-восточной части ширина выхода пород свиты составляет 3–4 км, а на юго-западе 10–15 км.

Витимская свита залегает согласно на чукчинской и перекрытии.

Следует отметить, что и определяет ее положение в восточной сподланкинской свите, что и определяет ее положение в разрезе. На левобережье р.Бол.Чуй и в других местах установлено нестабильное налегание базальных гравелитов и контроллеров оловянской свиты на породах витимской свиты /39/.

Наиболее полный и хорошо вскрытый горными выработками разрез свиты изучен Ю.А.Тумольским /39/ на водоразделе рек Чарво – Богдихта.

Здесь на амфиболитах чукчинской свиты залегают (снизу):

1. Сланцы кварц-мусковитовые	20	М
2. Кварциты	20–30	"
3. Сланцы гранат-диорит-мусковит-кварцевые	50	"
4. Известняки кристаллические	10	"
5. Сланцы, переслаивающиеся с биотитовыми гнейсами	30	"
6. Кварциты	10	"
7. Сланцы мусковит-биотитовые	50	"
8. Известняки кристаллические	150–200	"
9. Сланцы гранат-диорит-кварцевые с редкими кварцевыми биотитовыми гнейсами	140	"
10. Гнейсы биотитовые, переходящие постепенно вверх по разрезу в метаморфизованные песчаники с редкими прослоями "утяжистых" сланцев	180	"
11. Алевропесчаники карбонатные, переслаивающиеся с кварцевыми песчаниками, "утяжистыми" сланцами и известняками	190	"
12. Сланцы "утяжистые", с редкими прослоями кварцевых песчаников	350–400	"

Общая мощность свиты составляет 1200–1310 м. Выше согласно залегают породы сподланкинской свиты.

Породы витимской свиты характеризуются вариогранитным пологий-тальным магнитным полем интенсивностью +100–400 гамм, причем наиболее высокие значения свойственны породам высоких ступеней метаморфизма. Радиоактивное поле свиты несколько повышенное (5–8 мкР/ч). Содержание радиоактивных элементов по результатам аэрогаммаспектрометрии составляет: урана – $4\text{--}10 \cdot 10^{-11}$, тория – $6\text{--}20 \cdot 10^{-4}$, кальция – 0,8–1,8%. Магнитная восприимчивость песчаников и сланцев – $30\text{--}50 \cdot 10^{-6}$ СТС, гнейсов – $100\text{--}200 \cdot 10^{-6}$ СТС /35/.

Следующие сланцы представляют собой мелко- и среднезернистые сланцеватые породы серого и буровато-серого цветов. Структура гранобластовая, лепидогранобластовая, гетерогранобластовая.

Минеральный состав: мусковит и биотит (50–80%), кварц (20–40%), патоклаз (10–25%). В незначительных количествах присутствуют гранат, дистен, иногда силиманин и ставролит. Аксессорные минералы – пирокс, ортит, сфен и рудный минерал.

Гнейсы — среднезернистые, серые и бурые, субдольные, гранолепидомиктовые, гранолепидомицетозные, гранобластовые, лепидогранобластовые и гетеролепидогранобластовые; текстура гнейсовидная и сланцеватая. Состав пологий: кварц (10—35%), птишник (20—40%), слюды (10—50%). Иногда в незначительных количествах присутствуют гранат, силимандит, амфибол, микроклин. Аксессорные минералы — апатит, циркон, монит и ортит.

кварца — серые, золотистые, неотчетливо сланцеваты, структура — гранобластовая. На 90—95% состоит из кварца, в незначительных количествах присутствует сомда, акцессорные минералы — апатит, магнетит, циркон.

Кристаллические известняки — мелко- и среднезернистые массивные породы серого цвета. Структура гетерогранобластовая и гранобластовая, текстура массивная. Минеральный состав (в %): кальцит (80—95), диопсид (2—5), кварц (5), плагиоклаз (6), иногда флогопит, скалолит и рудный минерал. При повышенном содержании диопсида и скалолита известняки переходят в известково-силикатные и сканированные породы.

"утяжные славы" — обычно драмативные сцены с повышенным содержанием "утяжного" черного вещества, чем и обусловлена темная окраска пород.

С л ю д и н к и н с к а я с в и т а (РК₃), Западно-Сибирь вдоль водораздела р.Бол.Чуи (ниже устья р.Дерасо), прослеживает-
ся до северной границы листа О-49-ХХЛ и входит за его пределы.
Нижняя возрастная граница свиты определяется согласным за-
леганием ее на витимской свите. С вышеизложенной олонецкой сви-
той она не контактирует. Породы свиты прорываются гранитами
Чемско-Оронского верхнепротерозойского комплекса, что определя-
ет ее верхний возрастной предел. Разрез свиты составлен по гор-

ним выработкам в бассейнах рек Тукулах, Дерасо. Здесь на поро-
дах витимской свиты залегают (снизу): 30-35 м

1. Известники кристаллические	20	"
2. Сланцы спилестные	150-170	"
3. Известники кристаллические	150-170	"
4. Сланцы силиманит-сланцовые с редкими про- гнейсами	20	"
5. Известники кристаллические	130-150	"
6. Гнейсы биотитовые	10	"
7. Известники кристаллические	100-120	"
8. Гнейсы биотитовые	50	"
9. Известники кристаллические	10	"
10. Сланцы двуслюдянные с прослойками биотитовых гнейсов	60-70	"
11. Не обнажено	50	"
12. Известково-сланцатные породы	10-15	"
13. Известняки кристаллические	30	"
14. Сланцы слюдяные	45	"
15. Гнейсы двуслюдянные и биотит-кварцевые	20	"
16. Известники кристаллические	10	"
17. Гнейсы биотит-кварцевые с силиманитом	20-25	"
18. Известняки кристаллические	10-15	"
19. Известково-сланцатные породы	250	"
20. Гнейсы биотитовые и силиманит-биотитовые.	250	"
Общая сохранявшаяся мощность свиты по разрезу 1045-1140 м.		
В приульской части р.Дала и далее на северо-восток про- должаясь свиту, метаморфизованы в серпент-хлоритовой суб- россым и коренном выработкам на водоразделе рек Монокан - Лев.Алкомчак. Здесь на породах витимской свиты согласно зале- гает (снизу):		
1. Известники песчанистые	50	M
2. Сланцы филлитогенные	45	"
3. Известники песчанистые и известковистные пес- чаники	50-75	"
4. Сланцы филлитогенные с прослойками кварцевых песчаников	40	"
5. Песчаники известковистые с прослойками филли- тогенных сланцев и известняков	150-180	"
6. Песчаники кварцевые в переклаивании с фил- литовидными сланцами	75-100	"

Общая сохранившаяся мощность нижней части свиты по разрезу составляет 410-490 м.

Для слюдянкинской свиты характерно повышенное магнитное поле интенсивностью до +400 гамм. Радиоактивность повышена значительно. Содержания радиоактивных минералов: урана – $2-5 \cdot 10^{-4}$ %, тория – $3-5 \cdot 10^{-4}$ %, кальция – 1-1,5%. Магнитная восприимчивость составляет $10-2000-10^{-6}$ СТС /35/.

Породы, слагающие свиту, в общем ничем не отличаются от соответствующих разновидностей, описанных в разделе "вятимская свита" и поэтому здесь описание их опускается.

Нижняя подсерия нерасчлененная (РЗн₁)

Породы нерасчлененной нижней подсерии занимают северо-западный склон водораздела рек Мамы и Прв.Мамы, где они обнажаются в виде довольно широкой (2-4 км) полосы, уходящей к северо-востоку за пределы листа. На северо-западе распространение пород ограничено разломом, проходящим по долине р.Мамы, а на юго-западе – массивом гранитоидов конкудеро-мамаканского комплекса.

Шлохая обнаженность и ограниченное распространение пород подсерии не позволяли составить детального разреза и расчленить ее на свиты. В основании разреза толшина, неслучасно на породах муйской серии и южного интрузивного комплекса залегают базальтические туфы, имеющие мощность 75-100 м. Выше следуют полевошпат-кварцевые пестничники (реже гравелиты) и филлитовые сланцы. Ориентировочная мощность этой части разреза 1200-1300 м. Разрез венчает горизонт известняков кремового цвета мощностью около 100 м. Общая сохранившаяся мощность подсерии составляет 1375-1500 м.

Конгломераты представляют собой зеленовато-серые грубообломочные породы. Гальки хорошо окатаны, редко полукатаны, плохо отсортированы. Форма гальки обычно округлая, реже овальная, размер от 1 до 5-6 см. Количество их составляет 30-50% от общего объема породы. По составу гальки довольно разнообразны: преобладают граниты и габброиды муйской серии, в меньших количествах встречаются гальки гранитов и габброидов южного комплекса, кварцитов, кварца, кварцитоидных пестничников, хлорит-эпилот-актинолитовых ортоосланцев.

Цемент конгломератов представляет собой зеленый сланец альбит-эпилот-хлоритового и хлорит-серпентитового состава. Структура цемента лещадогранобластовая, текстура сланцеватая.

Песчаники, гравелиты, фyllитоидные сланцы и известняки по составу и своим текстурно-структурным особенностям ничем не отличаются от соответствующих разновидностей, описанных в составе вятимской и слюдянкинской свит.

Средняя подсерия

На описываемой территории в среднюю подсерию патомской свиты объединены терригенно-карбонатные и эфузивные породы, залегающие неслучасно на отложениях нижней подсерии и трансгрессивно перекрытие монжансской свитой. Средняя подсерия четко делится на четыре свиты: олонецкую, ондокскую, итыхскую и смынискую. Эти свиты впервые были выделены на смежной территории листов 0-49-ХХII и 0-49-ХХIII и в последующие годы были прорисованы на отложениях нижней подсерии и трансгрессии листов 0-49-ХХIII /24, 38/. Ранее эти отложения относились к нижней подсерии патомской серии и сопоставлялись с вятимской и слюдянкинской свитами северо-западного крыла Мамского синклиниория /24/. Породы средней подсерии залегают, как и породы смынинской свиты, на отложениях вятимской свиты, однако пространственно они никогда не соприкасаются, что затрудняет их корреляцию.

Породы средней подсерии метаморфизованы в условиях нижней ступени зеленосланцевой фаации (серпентитово-хлоритовая субфаация) регионального метаморфизма. Глинистые породы представлены типичными филлитами с новообразованиями тонкочешуйчатого и порфиробластического хлорита. Песчаники полностью сохраняют псаммативные структуры, пемент бластически перекристаллизован и имеет кварц-хлорит-серпентитовый состав (с альбитом и карбонатом). Основные эфузивы испытали типичные зеленокаменные изменения с превращением в эпилот-актинолитовые сланцы с редкими олифитовыми структурами. В зонах интенсивного динамометаморфизма эфузивы превращены в эпилот-актинолит-хлоритовые ортоосланцы. О л о к и т с к а я с в и т а (РЗ₃с¹) распространена в центральной части территории. Отложения прослеживаются от левобережья р.Бол.Чуи, затем по ее правому берегу и далее по левоберегью р.Бол.Чуи. Ширина выхода пород колеблется в широких пределах, это объясняется складчатостью и наличием тектонических нарушений, ограничивавших в некоторых местах распространение ее к юго-востоку.

Олаждения олокитской свиты залегают несогласно на породах витимской свиты, что установлено в горной выработке на водоразделе рек Чарво-Бол.Чуя, где гравелиты и мелкогалечные контлюмераты, слагающие основание свиты, непосредственно залегают на черных "утястых" сланцах витимской свиты /39/.

К юго-западу, на смежной территории по данным В.В.Балханова, гравелиты постепенно по простиранию переходят вначале в мелкогалечные, а затем в крупногалечные и валунные залежи с несогласием на породах витимской, чучинской, хибемской и чуйской свит, а также на гранитах ирельского комплекса /28/. В гальках конгломератов в изобилии встречаются породы, слагающие пересеченные выше свиты и интрузивный комплекс.

В известняках олокитской толитов *Osagia tenuillamellata* Reitl., *Vesicularites compositus* Znig., *Vesicularites flexuosus* Reitl., *Osagia columbata* Reitl. (определенено Т.А.Дольник, ИГПУ) /4/.

Олокитская свита сложена мелкогалечными конгломератами, гравелитами, пещаниками, сланцами, известняками и имеет четкое ритмичное строение. Мощность ритмов самая разнообразная – от нескольких десятков сантиметров до десятков метров. В верхних частях разреза свиты карбонатные породы играют более существенную роль, чем в ее низах.

Наиболее полный и хорошо вскрытый горным выработками разрез свиты изучен Ю.А.Тумольским /39/ на водоразделе рек Чарво-Бол.Чуя и далее по правому берегу р.Күйкүру (левый приток р.Бол.Чуя). В разрезе свиты вскрыты (снизу):

1. Гравелиты, мелкогалечные контлюмераты	150 м
2. Пещанники кварцевые	50 "
3. Сланцы "утястые", черные, с редкими прослоями мелкозернистых песчаников	70 "
4. Известняки тонкозернистые, черные, с остатками микрофитолитов	40 "
5. Сланцы, пещанники и известняки в частом переслаивании	35 "
6. Сланцы с редкими прослоями песчаников	60 "
7. Сланцы черные, "утястые", в переслаивании с песчаниками и известняками	90 "
8. Сланцы с редкими прослоями песчаников	75 "
9. Пещанники в переслаивании с гравелитами	55 "

Ч Здесь и далее определения Т.А.Дольник и Э.Н.Григорова (ИГПУ).

10. Сланцы	• • • • • • • • • • • • • • • • • • • •	8 м
11. Известники с прослоями сланцев	• • • • • • • • • • • • • • • • • • • •	20 "
12. Сланцы и пещанники в частом переслаивании	• • • • • • • • • • • • • • • • • • • •	180 "
13. Известники	• • • • • • • • • • • • • • • • • • • •	10 "
14. Сланцы с частыми прослоями пещанников и известняков	• • • • • • • • • • • • • • • • • • • •	230 "
15. Известняки и пещанистые известняки	• • • • • • • • • • • • • • • • • • • •	100 "
16. Пещанники, сланцы и известковистые пещанники	• • • • • • • • • • • • • • • • • • • •	110 "
17. Известняки с остатками микрофитолитов <i>Osagia tenuillamellata</i> Reitl., <i>Vesicularites compositus</i> Znig., <i>Vesicularites flexuosus</i> Reitl., <i>Osagia columbata</i> Reitl. • • • • • • • • • • • • • •	170 "	
18. Сланцы	• • • • • • • • • • • • • • • • • • • •	10 "
19. Известняки черные мелкозернистые	• • • • • • • • • • • • • • • • • • • •	5 "
20. Сланцы	• • • • • • • • • • • • • • • • • • • •	12 "
21. Известняки пещанистые	• • • • • • • • • • • • • • • • • • • •	300 "
22. Известняки черные мелкозернистые	• • • • • • • • • • • • • • • • • • • •	50 "

Суммарная мощность свиты по разрезу 1830 м.

Выше согласно залегают отложения одюжской свиты.

В магнитном поле А Т олокитская свита характеризуется неоднородным пониженным полем интенсивностью 100-200 гамм, (рис.1) на участках повышенного метаморфизма, радиактивное поле + (100-400) гамм. По данным аэромагнитометрии, радиоактивное поле несколько повышено и составляет 5-8 мкР/ч. Содержание радиоактивных элементов, определенные аэромагнитометрией, составляет: уран - $6 \cdot 10^{-4}$, торий - $10 \cdot 20 \cdot 10^{-4}$, калий 1,2-1,8% /35/.

Гравелиты, пещанники и мелкогалечные контлюмераты отличаются друг от друга лишь величиной зерен обломочной части. Величина гальек в конгломератах 10-15 мм, обломков в гравелитах – 3-5 мм и в пещанниках – 1 мм.

Это темно-серые груборассланчованные породы. Обломочная часть составляет 60-70% от общего объема породы. Окатаанность зерен слабая – преобладают неокатанные и угловатые. Состав обломков: преимущественно кварц с голубоватым оттенком и полевой шпат. Редко встречаются обломки черных "утястых" сланцев, первых пещанников и кварцитов. Цемент пород – тонкозернистый кварцевый пещанчик, по типу – заполнения пор. В резком подчинении присутствует альбит, карбонат, серцит, гидросилит, унимит, присутствует апатит, монацит, апатит, магнетит и сидерит.

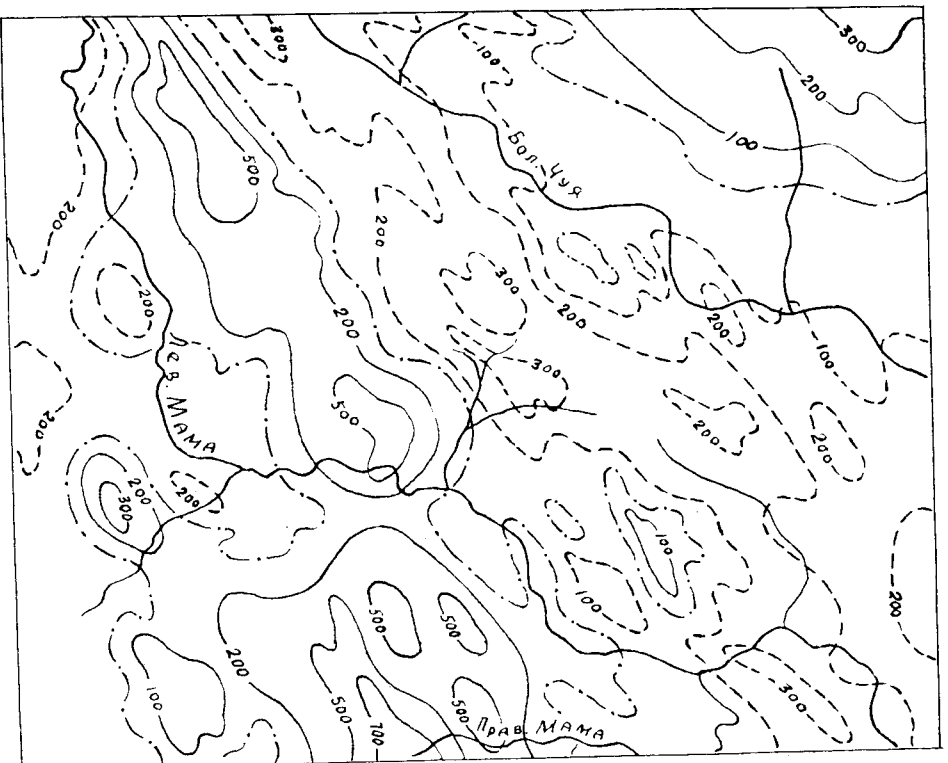


Рис. I. Схема магнитного поля

Значения ΔT (в гаммах): 1 - положительные; 2 - отрицательные; 3 - нулевые

Олекитской свиты /18, 20/.
Неполный видимый разрез свиты наблюдался Ю.А.Тумольским /38/ по горным выработкам в бассейне р.Дала (см.иу):

1. Сланцы черные "утяжистые" с редкими малоомощными прослоями кварцевых песчаников 110 м
2. Кварциты серые 200 "

Общая мощность свиты 310 м. В юго-западном

направлении от р.Дала кварциты постепенно сменяются по прости-

ранию темно-серыми мелко- и среднезернистыми кварцевыми песча-

никами с характерным голубоватым кварцем. Сланцы и песчаники

ничем не отличаются от соответствующих разновидностей из разре-

за олекитской свиты. Кварциты представляют собой желтовато-серые, мелкозернистые, сливные, массивные, часто слойстые

породы. Структура их гранобластовая. Минеральный состав: кварц

Сланцы - тонкозернистые сланцеватые, тонколитчатые темно-серые породы алевритовой и микромеллитогранобластовой структур. Характерным для них является присутствие довольно значительного количества "утяжистого вещества", чем и обусловлена темно-серая, почти черная окраска пород. Среди сланцев по составу выделяются: кварц-хлорит-серилитовые, серилит-хлорит-альбит-кварцевые, альбит-кварц-серилитовые, альбит-кварц-серилит-карбонатные и альбит-кварц-серилит-карбонатные. Иногда перечисленные разновидности сланцев встречаются в частом переслаивании и микроскопически не различимы. Аксессорные минералы - рутил, магнетит, турмалин, апатит и циркон. Новообразованные минералы - сенит, турмалин, апатит, пирит и кальциевый карбонат ("бурый шпат").

Известники - темно-серые, почти черные, мелко- и тонкозернистые, массивные и реке слойстые породы. Структуры лепидогранобластовые и гранобластовые. Минеральный состав - кальцит (70-95%) и в незначительных количествах присутствуют кварц, альбит, мусcovит и "утяжистое" вещество. Лессанистые известники характеризуются значительным (30-35%) содержанием зерен кварца. Аксессорные минералы - апатит, магнетит, рутил и турмалин.

Ондокская свита (р.З.оп) обнаруживается в виде узкой (1-3 км) полосы северо-восточного простирания от Устьевой части р.Чарво по правобережью р.Бол. Чуя до истоков р.Монгакан. С северо-запада ондокская свита контактирует с олекитской, а к юго-востоку ее распространение ограничивается тектоническим контактом с южными синклинальными складками ондокской свиты.

Отложения ондокской свиты залегают согласно на известниках олекитской свиты /18, 20/.
Неполный видимый разрез свиты наблюдался Ю.А.Тумольским /38/ по горным выработкам в бассейне р.Дала (см.иу):

1. Сланцы черные "утяжистые" с редкими малоомощными прослоями кварцевых песчаников 110 м
2. Кварциты серые 200 "

Общая сохранявшаяся мощность свиты 310 м. В юго-западном направлении от р.Дала кварциты постепенно сменяются по прости-

(90%) и незначительное количество калишата, серпнита, эпиллита и лейкоксена. Аксессорные минералы представлены турмалином и эпидотом.

И т и к и т с к а я с в и т а (PR_3, i^t). Выходы пород сняты известны лишь в тектоническом блоке на правобережье р.Бол. Чуи и на смежной к юго-западу территории. Породы согласно залегают на отложениях ондокской и перекрываются эйфузивами синирской свиты, что установлено на смежной к юго-западу территории /28/.

Итыкитская свита сложена исключительно темно-серыми мелкоzemистыми известняками, совершенно аналогичными развитым в ондокитской свите и содержащими остатки тех же самых микрофитов. Неподалеку мощность ее достигает 400 м.

С и н и р с к а я с в и т а (PR_3, n) слагает центральную часть водораздела рек Бол.Чуи и Лев.Мамы и прослеживается на северо-восток до среднего течения р.Монголан. Ширина выхода свиты на юго-западе достигает 8 км, а к северо-востоку, в хр.Синиар она резко сокращается до 1-2 км. Эйфузивы синирской свиты в истоках р.Сред.Амуудакана, а также в районе горы Инял-тук несогласно залегают на известниках ондокской свиты /24, 30/.

В нижнем течении р.Олокит на контакте итыкитской и синирской свит в эйфузивах содержатся "влажные" обломки черных известняков с остатками *Oscularia columnata Raiti*. /28/. Верхний возрастная граница свиты определяется налеганием на нее с разрывом базальных конгломератов монгансской свиты.

Абсолютный возраст эйфузивов синирской свиты составляет 767 млн. лет (анализировалась валовая проба метаэйфузивов из истоков р.Дала-Калы-Аргоновым методом). Количество калия 0,465%, $A_{40} \cdot 10^{-5} = 0,0295$; отношение $A_{40} : K_{40} = 0,05274$.

Синирская свита сложена преимущественно минералогическими диабазовыми порфиритами, среди которых отмечаются редкие линзовидные тела кварцевых порфиров мощностью до 100-300 м и незначительное количество трубов и туфолов, тяготеющих к северо-западным частям выхода свиты. Довольно широким распространением пользуются разнообразные ортосланцы, приуроченные преимущественно к зонам тектонических нарушений. Стратиграфическое расположение синирской свиты ввиду отсутствия маркирующих горизонтов, монотонности пород, слагающих ее, а также из-за плохой обнаженности весьма затруднено, и поэтому разрез ее не приводится. Мощность снятия ориентировочно определяется нами в 500-1000 м.

^{X/} Определения производились в Центральной лаборатории абсолютного возраста ИГУ С.И.Парасевич, 1966.

Эйфузивы синирской свиты четко выделяются в магнитном поле в виде широкой полосы аномальных значений ΔT интенсивностью +500-300 гамм. Магнитная восприимчивость колеблется в пределах 5700-12500 10^{-6} С.С. Содержания радиоактивных элементов по данным аэрогаммаспектрометрии составляют: урана - $4 \cdot 10^{-7}\%$, тория - $6 \cdot 10^{-4}\%$, кальция - 0,8% /35/.

Миндалекаменные диабазовые порфириты представляют собой сланцеватые, реже массивные, зеленые и серовато-зеленые породы. Структура основной массы бластопорфировая, бластоцитовая, лепидогранобластовая, нематогранобластовая. Порфировая структура подчеркивается наличием вкраплениников шпатоклаза, как правило, полностью сосуществующих с пирофиллитом (эти минералы - титаномагнетит, магнетит и сфен). Химический состав пород приводится в табл. I.

Кварцевые порфириты - массивные, реже рассланцованные, серые, иногда с лиловым оттенком породы. Структура отчетливо порфировая, основная масса миндалекаменная, иногда сферулитовая. Туры и туфолавы обычно лиловые, зеленоватые, бурые породы со сланцеватой текстурой. Структура витрокластическая, либо кристаллоластическая, кристаллокластическая. Обломки представляют собой плагиоклазом, пузирристым миндалекаменным стеклом. Основная масса состоит из мелкозернистого агрегата актинолита, альбита, лейкоксена и рудного минерала.

Ортосланды - тонколистчатые, листоватые зеленые породы. По минеральному составу выделяются кварц-альбит-хлорит-эпиллитаевые, альбит-хлорит-эпиллитаевые, актинолит-хлорит-эпиллитаевые, альбит-магнетитовые с хлоритом и альбит-магнетит-альбит-хлоритовые сланцы.

Химическая характеристика эйфузивов синирской свиты приведена в табл. I.

Средняя-верхняя подсерия

М о н г а н с к а я с в и т а (PR_3, m^n) занимает водораздел рек Бол.Чуи и Лев.Мамы. Отложения ее прослеживаются от истоков р.Шаман в северо-восточном направлении до восточной границы листа. Ширина выхода пород от 10 км на юго-западе до 5 км на северо-востоке.

Таблица I

28

№ п/п	Содержание окислов, вес. %												П.п.п.	Σ
	SiO ₂	TiO ₂	Fe ₂ O ₃	FeO	Al ₂ O ₃	CaO	MgO	MnO	P ₂ O ₅	K ₂ O	Na ₂ O	H ₂ O		
I	51,64	1,15	1,82	10,26	14,17	9,54	5,55	0,14	0,14	0,82	2,82	-	1,84	99,89
2	48,88	1,19	2,47	11,36	13,59	7,61	7,53	0,20	0,09	0,32	1,82	0,03	4,23	99,37
3	50,82	0,74	2,24	8,42	14,00	9,59	8,61	0,16	0,08	0,80	2,70	0,09	1,91	100,16
4	49,84	0,99	7,15	5,70	14,24	9,95	6,80	0,14	0,12	0,32	2,10	0,07	3,12	100,54

числовые характеристики по А.Н.Заварицкому

№ п/п	a	c	b	s	r'	m'	a'	n	φ	t	Q	a:c	c'
I	7,5	5,7	26,8	60,0	42,8	35,2	-	83,1	5,8	1,6	9,7	1,3	22,0
2	4,6	7,1	29,5	58,8	46,3	45,1	-	90,2	7,5	1,8	1,3	0,6	8,6
3	7,1	5,6	30,0	57,3	33,0	47,6	-	83,0	6,2	1,1	-5,2	1,3	19,4
4	4,9	7,3	28,9	58,9	41,2	41,0	-	90,9	21,6	1,5	0,7	0,7	17,8

При мечани и е: I - обр. I35г, миндалекаменный диабаз, левобережье р. Монюкань; 2 - обр. 271, диабазовый порфирит, бассейн р. Шамана; 3 - обр. I360а, диабазовый порфирит, бассейн р. Верх. Семнера; 4 - обр. I394, диабаз, бассейн р. Верх. Семнера. Все образцы из коллекции А.Н. Артемьева. Аналитик А.В. Тарасова, лаборатория ИТГУ.

Снята выделяется впервые и имеет определенное положение в южном разрезе района. Ее базальные слои, состоящие из континентальных, залегают несогласно и с разрывом на городах синайской свиты (хр. Синнир, в устье р. Лев. Мама и других местах). В континентальных вязобиллиях встречается талька подстилающих пород. Это свидетельствует о синайской свите, известники итыкской и олюкской свит с остатками ископаемых микрорифтитов, таких же, как в известьниках олюкской свиты, граниты и габброиды муского комплекса и др.

Отложения монюканской свиты несогласно перекрываются горизонтами холдинской свиты нижнего кембрия. Это установлено на водоразделе рек Бол. Чуя - Лев. Мама, где в коренном залегании во многих точках наблюдается, что базальные слои холдинской свиты с утесами, азимутальным и стратиграфическим несогласием залегают на различных горизонтах монюканской свиты /27/.

Свита характеризуется четким ритмичным строением и преимущественно терригенным составом, и лишь в верхах ее разреза отмечаются карбонатные горизонты небольшой мощности. Ритмы трех-, реже четырехслойные. Мощность ритмов самая разнообразная: от нескольких десятков сантиметров до первых десятков метров. Изучение ритмичности свиты позволило расшифровать ее структуру и составить постоянный разрез с учетом складчатости.

Для городов монюканской свиты характерны низкие ступени метаморфизма в пределах серпент-хлоритовой субъединицы земнославской фации. Локальные повышения метаморфизма связаны с термальным воздействием интрузий нижнего палеозоя.

Наиболее полный разрез свиты изучен Д.А. Тумольским /38/ на водоразделе рек Монюкань и Неруды. На породах синайской свиты с разрывом залегают (снизу):

1. Контактмергели валунно-галечные 220 м
2. Песчаники полевошпат-кварцевые 130 "
3. Песчаники и линзы в тонком переслаивании 35 "
4. Песчаники полевошпат-кварцевые 20 "
5. Песчаники с карбонатным цементом 100 "
6. Гравелиты 30 "
7. Песчаники с шпатом и "бурым шпатом" 50 "
8. Песчаники кварцевые в переслаивании с серпентиновыми сланцами 35 "
9. Сланцы албит-кварц-серпент-хлоритовые с бурым "шпатом" 245 "
10. Сланцы хорти-серпент-кварцевые "утяжистые" 125 "
- II. Гравелиты полимиктовые 10 "

12. Песчаники полевошпат-кварцевые	25	м
13. Песчаники в переслаивании со сланцами	35	"
14. Сланцы алевритовые "утлыстые"	30	"
15. Гравелиты полимиктовые	30	"
16. Песчаники полевошпат-кварцевые	45	"
17. Сланцы алевритовые с "бурым шатом"	210	"
18. Конгломераты мелкогалечные	130	"
19. Гравелиты полимиктовые	15	"
20. Песчаники полимиктовые	70	"
21. Сланцы юниловидные с "бурым шатом"	120	"
22. Песчаники полимиктовые	5	"
23. Сланцы алевритовые с прослоями песчаников	90	"
24. Песчаники полимиктовые	100	"
25. Сланцы юниловидные с "бурым шатом"	100	"
26. Сланцы юниловидные "утлыстые"	35	"
27. Гравелиты и конгломераты мелкогалечные	40	"
28. Песчаники кварцевые и полевошпат-кварцевые	440	"
29. Песчаники известковистые с прослоями известняков и юниловидных сланцев	120	"
30. Конгломераты карбонатные мелкогалечные	35	"
31. Песчаники кварцевые	100	"
32. Песчаники кварцевые в переслаивании с алевролитами	25	"
33. Известники темно-серые	90	"
34. Известники белые, кремовые	80	"
35. Известники с прослоями алевролитов	70	"
36. Песчаники кварцевые с прослоями алевролитов	250	"
37. Конгломераты мелкогалечные	30	"
38. Гравелиты преимущественно кварцевые	125	"
39. Песчаники с прослоями юниловидных сланцев	155	"
Суммарная мощность по разрезу 3600 м.		
Выше залегают базальные конгломераты холдинской свиты нижнего кембрия.		
Магнитное поле мониканской свиты характеризуется пониженными значениями ΔT от -100 до -200 гамм, участками до -360 гамм. Интенсивность радиоактивного поля колеблется в пределах 3-6 мкР/ч /35/.		
Конгломераты - средне- и крупногалечные, иногда валуны обычно зеленовато-серого или зеленого цвета породы. Тальки и валуны хорошо окатаны, реже полукатаны, плохо отсортированы. Формы их овальные, часто уплощенные, редко округлые. Размеры		

от 1 см до 1 м. Наиболее часто встречающиеся размеры 3-5 см. Кожа по составу очень тонкая.

личество их колеблется от 10 до 30%. Гравий — разнообразны: преобладают мелчайшие зёрна синирской разновидности: кварциты, кварцевые песчаники, гравелиты с голубоватым оттенком, кварциты, кварцевые песчаники, гравелиты с голубоватым оттенком, "утягившие" сланцы, оваловидные кварцем, разнообразные ортоэловиты, "утягившие" сланцы, содержащие "бурый шпат", плагиограниты, пегматомитовые граниты, габброиды, известники кремового цвета, черные известники итникской и охокитской свит с *Oscagia columata* Reitl., *Oscagia tenuilamellata* Reitl., *Vesicularites compositus* Z. Zhur., *Vesicularites flexuosus* Reitl. Гальки с остатками микроподсиямитов обнаружены в континератах хр. Сыннир и по левобережью р. Мантура. Гальки мелкозернистых континератов сложены кварцем. Цемент минералов. Гальки мелкозернистых континератов превращен в зеленые сланцы альбит-липштадт-хлоритового, хлорит-серпентинового, реже известковистого состава. Структура цемента лепидотрансформирована. Структура бластостолбчатовая.

Праведиты обладают пластоизогнутыми с.р. и текстурой. Хорошо окатанные зерна имеют размеры 3-5 мм и составят 55-60% породы. Среди обломков различаются микрокварциты, серпент-хлоритовые сланцы, эпиложиты, талькобиотитовый кварц, полевошпат и редко известняки. Цемент базальный, по составу это тонкозернистый кварцевый или полимиктовый песчаник. Аксессорные минералы представлены сферулом и рутилом.

Известники представляют собой серые, кремовые и темносерые мелкозернистые породы. Структура их гранобластовая, текстура — массивная. Известники на 85-90% состоят из кальцита с незначительной примесью зерен кварца, реже шпатоизв.

магнитное поле монгольской свиты характеризуется пониженными значениями ΔT от -100 до -200 гамм, участками до -360 гамм. Интенсивность радиоактивного поля колеблется в пределах 3-6 микр/ч /35/.

Континентальные - средне- и крупногранечные, иногда вздутие обычно зеленовато-серого или зеленого цвета породы. Тальки и вялчи хорошо окатаны, реже полукатаны, плохо отсортированы. Форма их овальная, часто уплощенная, редко округлая. Размер их

ПАЛЕОЗОИСКАЯ ГРУППА

КЕМБРИЙСКАЯ СИСТЕМА

НИЖНИЙ ОТДЕЛ

Отложения нижнего отдела кембрия представляют собой короткую трансгрессионную серию, которая расщепляется на терригенные отложения алданского яруса (холоднинская свита) и карбонатные отложения ленского яруса (кооктинская свита).

Алданский ярус

Холдинская свита ($\text{e}_{1,2}$) включает терригенные породы, которые слагают полосу вдоль р.Лев.Мамы. Кроме того, они обнажаются в виде небольших полей в бассейнах рек Среклика, Шамана, Ушукана. Свита сложена преимущественно грубообломочными породами: континератами, гравелитами, песчаниками, в меньшей мере - алевролитами и сланцами.

В бассейне р.Орколикана базальные континераты холдинской свиты несогласно залегают на основных метавулканических сериях и сопутствуют обильной гальке подстилающих пород, а также габбройдов и гранитов нижнего протерозоя, которые распространены в непосредственной близости /23/. В бассейне р.Ушукана базальные слои с угловым и азимутальным несогласием лежат на базитовых шлакогнейсах верхней подсерии южской серии /38/. В верховых р.Шамана И.Ф.Банновым установлено несогласное наложение базальных коллоидератов свиты на породах верхнепротерозойской южнокансской свиты /38/. По р.Орколикану эти породы изучались А.Н.Казаковым и на основании находок комплекса спор (определения Б.В.Тимофеева) выделены в орколиканскую серию позднепротерозойско-раннекембрийского возраста /10/. Верхняя возрастная граница свиты определяется согласным залеганием на нее в бассейне р.Верх.Ангара карбонатной толщи с фацией археомат, трилобитов, брахиопод и водорослей раннего кембрия /22/. Перечисленные факты, так же как и положение трансгрессионной серии на продолжении крупной полосы кембрийских осадков, расположенных по-западнее, позволяют отнести эти породы к алданскому ярусу нижнего кембрия ^{1/}.

^{1/} На съемном листе Б.П.Кудинов /1/ относит эти же породы к падроканской свите нижнего кембрия, выделенной в Средне-Батимской горной стране.

Изучение нормального разреза холдинской свиты связано с некоторыми затруднениями, из-за слабой обнаженности, наличия разрывной тектоники и широкого развития палеозойских интрузий. Своякий разрез свиты составлен С.Н.Лагеревым /33/ в 1964 г. для дассейна р.Лев.Мамы между реками Лепик и Мал.Улдоки (они-располагающиеся с песчаниками):

1. Колломераты и гравелиты, переслаивающиеся с песчаниками и алевролитами	700-750 м
2. Песчаники известковистые с прослоями полиметовых и кварцевых песчаников	500-600 "
3. Алевролиты и улунсто-глинистые сланцы, переслаивающиеся с песчаниками	150-200 "

4. Колломераты мелкогалечные, гравелиты и песчаники	400-500 "
5. Алевролиты и улунсто-глинистые сланцы, переслаивающиеся с песчаниками	150-200 "
6. Песчаники известковистые, реже песчанистые известняки с прослоями гравелитов и мелкогалечных колломератов	500 "

7. Алевролиты, песчаники, известковистые песчаники, реже известняки в тонком флишoidном переслаивании

Суммарная мощность по разрезу 3600-3900 м.

При сопоставлении частных разрезов свиты, изученных в разных частях площади, отмечается их общая выдержанность и следующие черты: грубая ритмичность (штукартурное появление в разрезе грубообломочных фаций) в сочетании с более тонкой ритмичностью в верхах разреза; значительная фаунильная изменчивость по про странению; широкое развитие текстур мелководья (косая слоистость, знаки рабь, признаки микроразрывов). К северу, в бассейне р.Ушуканы и р.Шаман (приток р.Бол.Чуя), наблюдается уменьшение в разрезе известковых осадков.

Метаморфизм отложений холдинской свиты в целом отвечает начальным стадиям зеленосланцевой фации и выражен в сильном уплотнении пород, коррозии и регенерации осколков кварца и карбоната, бластезе цемента с пополнением новообразований албитита, сериита, хлорита и аплита.

Магнитное поле пород холдинской свиты пониженное, слабо дифференцированное за счет, по-видимому, подстилающих толщ. Содержание радиоактивных элементов по результатам аэромагнитометрии составляет: урана - $2.5 \cdot 10^{-4} \%$, тория - $3.5 \cdot 10^{-4} \%$, кальция - 0,5-1,0% /35/.

Конгломераты — средне- и мелкогальванные породы, иногда перехолющие в валунные, которые характеризуются зеленовато-серым, зеленоватым и серым цветом. Галька составляет до 90%, чаще 30—40% объема породы. Обычные размеры гальки 5—7 см, в валунных разновидностях до 30—50 см, редко до 80—100 см; кроме того, постоянно присутствует гравийная фракция. Формы гальки преимущественно эллиптические, реже изометрические, в развалцованных разновидностях линзовидные и веретенообразные. В базальных слоях окатанность гальки возрастает вверх по разрезу. Состав гальки и валунов зависит от подстилающих пород. Пребывают следующие разновидности: основные зеленые ортосланцы, выщелоченные и розовые кварцевые порфириты и фельзанты, габброиды, катаклизированные граниты. В меньшем количестве встречаются метаморфизованные песчаники, платигнейсы, "утяжистые" сланцы, кварциты, известники, кальцовый кварц. Цементом служат песчаники и гравелиты псамитового, псевдитового структуры кварц-доломитового состава с новообразованиями хлорита, серцинита, альбита, гидроокислов железа. Гравелиты отличаются от конгломератов лишь размерами обломков. Цемент контактово-доровий и выполнения.

Песчаники представляют собой псаммитовые серые, темно-серые, зеленовато- и красновато-серые от грубо- до мелкозернистых. Породы обладают массивной, неяснослоистой, часто косослоистой текстурой. Обломки представлены кварцем, полевыми шпатами, микроФельзитами, кварцитами, реже биотитом и мусковитом. Окатащенность обломков сладкая, сортировка средняя. Структура псаммитовая, алевропсаммитовая, биастопсаммитовая. Цемент контактово-поровый, выполнения, участками кrustидикционный, резко базальтовый. Состав цемента кварц-спилитовый, в случаях известковых разновидностей — кварц-сладко-карабонатный. Довольно часто песчаники содержат отдельные кристаллы и дюочки кристаллов пирита.

Алевромиты — темно-серые, зеленовато-серые, яйловые породы олигостой и массивной текстуры. Обломочная часть представлена кварцем, платниказом, серцином, магнетитом. Структура алевритовая и пелитоалевритовая, микролепидотранобластовая, микролепидотистая. Цемент состоит из серцинита, хлорита, кварца, рулевого минерала, глинистого и чешуйчатого вещества, часто со значительным количеством карбонатной массы.

Темно-серые и черные утилито-глинистые сланцы обладают перлитовой структурой. Минеральный состав: кварц, серцинит, хлорит, рудная пыль, глинистое вещество.

Контактно-ская связь (C_{1ff}). Отложения свидетельствуют о сдвигах в долине р. Лев. Мами от р. Дильгута до р. Индамкура, и часто образуют ксенолиты в поле развития гранитоидов синеклиза и контактор-димитского и контактер-димитского комплексов.

Отнесение карбонатных осадков к коктинской свите нижнего кембрия основано на том, что на плоскости смешного листа 0-49-ХХХБ В.И. Дубченко аналогичные породы относят к верхней части разреза нижнего кембрия. Они содержат обильную фацию ленского яруса (археолиты, трилобиты, брахиоподы) и водорослевые остатки /32/. Строматолиты плохой сохранности были обнаружены С.Н. Лагеревым в 1962 г. в известняках коктинской свиты на левобережье р. Лев. Мами /33/.

На территории листа коктинской свите повсеместно отделены от нижележащей холдинской тектоническими нарушениями. Это обстоятельство, а также однослоение состава, многочисленные внутренние разрывы и широкое развитие палеоводных интрузий делают невозможным составление нормального разреза свиты. Общая мощность коктинской свиты, по данным С.Н. Лагерева, составляет не менее 1500 м /33/.

В составе коктинской свиты выделяются следующие литологические разновидности: известники, доломитовые известники и доломиты. Соотношение известняков и доломитов в разрезе примерно одинаково.

Известники желтовато-серые, кремовые, серые, темно-серые, тонкозернистые, иногда псаммитовые. Пребывают массивные и слоистые. Структура микротранобластовая. Кальцит составляет 85—97% объема породы. Кроме того, встречаются обломки кварца, полевого шпата, реже магнетита и циркона, присутствует углистое вещество. Химический состав известняков: $\text{CaO} = 51,11\%$, $\text{MgO} = 4,77\%$.

Доломиты внешне неотличимы от известняков. Это практически мономинеральные породы, состоящие на 95—97% из карбоната, неизменительная примесь представлена кварцем и рудной пылью. Текстура доломитов массивная, структура гранобластовая. По составу доломитовой и кальцитовой частей выделяются все переходные разновидности от известняков к доломитам. Химический состав известковистых доломитов: $\text{CaO} = 31,77\%$, $\text{MgO} = 19,96\%$.

КАЙНОЗОЙСКАЯ ГРУППА

ЧЕТВЕРТАЯ СИСТЕМА

Н е о г е н - ни ж не че т в е р т и ч н ы е отложени я предста влены гальками и валунами, отдельными

заметны на древних террасовых поверхностях высотой 200-250 м. Возраст их определен по аналогии с отложениями 220-230-метровой террасы р. Витима /9/.

Красноцветный аллювий, перекрытый мореной, отнесенный на-
ми к среднечетвертичным отложениям, вскрыт руслом р.Перунды в
ее среднем течении. Аллювий представляет собой галечник с кус-
ком глинисто-гравийной выполняющей породой. Выделяем мощность
разреза 1,7 м, аллювий слабо золотоносен. Общая мощность сред-
нечетвертичных отложений 10-15 м.

В е р и н ч е т в е р т и ч н ы е и с о в р е -
м е н ы е о т л о ж е н и я (QIII-IV) распространены
наиболее широко. Крупные доли их охватывают правобережье р.Бол.Чуи, а также верхние течения многих до-
вых притоков. Отнесение их к данной возрастной группе услов-
но и основано на геоморфологических данных. По генетическим при-
знакам выделяются аллювиальные, ледниковые и волно-ледниковые
отложения.

Реликты наиболее древнего аллювия первой половины поздне-четвертичного времени сохранились в виде отдельных маломощных (до 1 м) "шапок" на террасовых поверхностях высотой над современными русскими рек 100-150 м. Они так же как и неоген-ранне-четвертичные и среднечетвертичные отложения на геологической карте не показаны, так как их выходы не выражаются в масштабе карты.

четвертичные отложения, ввиду малой мощности и элювийского состояния, на геологической карте не показываются.

Ледниковые отложения представляют собой морены третьего (пятомского) оледенения (начало второй половины позднечетвертичного времени), сложенные плохо окатанным и несортированным валуно-шебнистым материалом, который обогащен мелким супинником зелено-серого цвета. Размеры валунов достигают

3-4. М. Отмечаются ледниковые шрамы и штриховка.

К этому же времени уменьшилось количество (лонгдорского) оледенения, распространенные в верховых долинах рек, истоки которых расположены в хр. Северо-Байкальском и хр. Сынанд. Морены сложены несортированными валунами, состав валунов исключительно местный. Водно-ледниковые отложения, примыкающие к переднему фронту конечных морен, ниже по течению да- пас.

ИНТРУЗИВНЫЕ ОБРАЗОВАНИЯ

Интузивные образования занимают более 50% территории листа 0-49-ХХII. Они представлены раннепротерозойскими, постнепротерозойскими и палеозойскими интрузиями.

РАННЕПРОТЕРОЗОЙСКИЕ ИНТРУЗИИ

Муйский интузивный комплекс

В пределах описываемой территории известны интузии второй и третьей фаз муйского комплекса, представленные телами габброидов и гранитов, развитых в районе слияния рек Прав.Мамы и Лев.Мамы, на водоразделе рек Нерудна - Лев.Мама и в истоках р.Оржикана.

Описываемые породы проявлены образами муйской серии нижнего протерозоя и перекрываются с размытыми отложениями верхнего протерозоя, в базальных конгломератах которых обнаружены габброиды и платиграниты муйского комплекса. Абсолютный возраст габброидов, определенный Д.А.Великославинским калий-аргоновым методом по валовой проде составляет 1240 млн. лет /5/. Вторая фаза (γ_2 РГ₁ т.) обогащает габро, габро-диориты, кварцевые диориты и кварцевое габро отличающиеся от вышеописанных габро количественно-минералогическим составом.

Химический состав пород второй фазы муйского комплекса приводится в табл.2.

Третья фаза (γ_3 РГ₁ т.) — платиграниты и граниты развиты в нижнем течении р.Лев.Мама, а также в истоках р.Оржикана, где они сложены различие по величине тела размежем от 1 до 160 км². Массивы гранитов имеют очень осложненную форму, включают большое количество разновеликих ксенолитов габброидов второй фазы и метаморфических пород нижнего протерозоя. Граниты послойно внедряются во вмещающие породы и в зоны контакта образуют густые зоны инъекций. Последующими тектоническими движениями граниты часто превращены в гнейсо-граниты. Для платигранитов муйского комплекса характерно магнитное поле ΔT , уровень которого не превышает +200 гамм. Аэрогаммаэлектрометрией установлено весьма низкое содержание радиоактивных элементов в платигранитах /1/.

Платиграниты и граниты — средне- и крупнозернистые, иногда полированные, реже мелкозернистые зеленовато-серые и розоватые гнейсоподобные, иногда массивные породы.

Контакты с вмещающими породами инъекционные, четкие. При контактовых изменениях не наблюдается. Габброиды прорывают и интесирируются гранитами третьей фазы.

Интенсивность поля ΔT над габброидами варьирует в пределах +500 - 2500 гамм. Исследования показали, что повышенная магнитность пород обусловлена значительной концентрацией магнетита и титаномагнетита, в связи с чем здесь отмечаются большие значения магнитной восприимчивости (450-30000.10⁻⁶ СТС). Для второй фазы характерны очень низкие значения радиоактивности /1/.

Габро-зеленовато-серые, реже темно-серые, преимущественно средне- и редко мелко- и крупнозернистые породы массивной и полосчатой текстуры. Структура пород габбровая, бластогаббровая,

реже нематогранобластовая и лепидогранобластовая. Минеральный состав габро (в %): плагиоклаз (30-75), роговая обманка (30-60), биотит (1-5) и редко кварц (1-5). Аксессорные минералы — титаномагнетит, магнетит, сфеен, апатит. Эпимагматические процессы проявлены в эпилитизации, хлоритизации, серicitизации, карбонатизации и лейкоксенитации. Иногда габро преобразованы в амфиболиты и амфиболовые гнейсы.

Габро-диориты, кварцевые диориты и кварцевое габро отличаются от вышеописанных габро количественно-минералогическим составом.

Химическая характеристика гранитоидов третьей фазы муйского комплекса приведена в табл.2.

Таблица 2

№/п	Содержание окислов, вес. %														
	SiO ₂	TiO ₂	Fe ₂ O ₃	FeO	Al ₂ O ₃	CaO	MgO	MnO	P ₂ O ₅	K ₂ O	Na ₂ O	SO ₃	H ₂ O	П.п.п.	Σ
I	49,00	2,44	4, II	II, 39	I2,90	I0,28	5,55	0,20	0,21	0,65	2,20	-	0,21	0,43	99,57
2	46,86	I, 57	4,7 I	9,30	I3,70	II, 27	5,9 I	0,19	-	0,82	2,20	0,05	I,60	2,05	100,23
3	73,53	0, 19	0,63	0,69	I4,80	I, 44	0,38	0,01	0,04	3,30	4,50	-	0,01	0,27	99,79
4	74,58	0,06	0,60	0,16	I4,03	I, 89	0,65	0,01	0,03	4,74	3,70	-	0,01	0,30	100,76

Числовые характеристики по А.Н.Заваринскому

$\frac{n}{n}$	a	c	b	s	f'	m'	a'	n	φ	t	Q	a:c	c'
I	5,78	5,53	30,70	57,70	47,12	30,79	-	92,80	II,40	3,60	I,77	I,0	22,08
2	6,18	6,30	3I,46	56,03	42,4I	32,86	-	80,25	I3,80	2,45	6,60	0,9	24,70
3	I4, I7	I,69	3,32	80,80	34,95	I8,75	46,25	67,40	I,55	I,93	3I,57	8,9	-
4	I4,45	I,80	2,12	8I,62	30,42	50,13	-	54,20	23,I3	6,53	32,54	8,0	I9,44

П р и м е ч а н и е . 1 - обр. П-141, габбро, правобережье р.Прав.Мамы; 2 - обр. I218м, габбро-диабаз, правобережье р.Прав.Мамы; 3 - обр. I513г, биотитовый гранит, бассейн р.Каверги; 4 - обр. I538, амфибол-биотитовый гранит, бассейн р.Яны. Все образцы из коллекции Л. В. Ревякина. Аналитик М. П. Кузнецова, лаборатория ИТГУ.

Ловыренский интрузивный комплекс (vPR_3 , $d\text{v}$)

ПОЗДНЕПОТЕРОЗОЙСКИЕ ИНГРУЗЫ

Интузивные породы, относящиеся к этому комплексу, слагают небольшой массив в междууречье Оржоликана и Токниля. Это гигантский массив в широтном простирании размерами 2,6 x 10 км. Массив сложен табборо, таборо-диабазами и лабрадоритами, в восточной и западной его частях отмечаются ультрабазиты.

ются отложениями холдининской свиты никелевого кембрия, что, учитывая особенности состава, позволяет сопоставлять их с Донъренским пигрузивным комплексом. Абсолютный возраст, определенный М.М. Магдуловой капи-аргоновым методом для известного Иоко-Донъренского массива Северного Прибайкалья, колеблется от 630 до 780 млн. лет /12/. От габброродов Муйского комплекса горы отличаются сравнительно "свежим" обликом и геохимической специальностью. Для город Донъренского комплекса в целом весьма характерны повышенные концентрации никеля, кобальта, меди и низкие - титана, тогда как эти же соотношения в габброродах Муйского комплекса противоположны.

Габбро состоит из патоклаза (60–75%), моноклинного пироксена (2–3%), роговой обманки (20–30%), присутствует тремолит, хлорит и магнетит. Текстура массивная, структура габборовая пандиморфозернистая. Платиоклаз (Mg 36–81) часто сильно содорнитизирован, приконы заменяются обычновенной роговой обманкой, затем тремолитом и актинолитом.

Лабрадориты содержат шпатолаз ($\#$ 47-53), количество которого достигает 85-90%, из вторичных минералов присутствуют клемнолор, цонцит, серцит, пренит, карбонат.

перидоты и серпентиниты.

Пироксены — зеленовато-черные крупнокристаллические породы, содержащие до 75–80% моноклинного пироксена, роговую обманку, актинолит и магнетит (до 2%).

Другим же губернаторам, таким как Альберт Стоун и Томас Уильямс, было предложено пакет налога, который утилизировал бы налог на землю, налог на недвижимость, налог на имущество, налог на производство.

Перидоты состоят из моноклинного пироксена, оливина и значительного количества (до 15%) магнетита, часто встречающейся в роговом обманке, хлорит.

Серпентиниты характеризуются игольчатым, решетчатым, слошно-игольчатым строением. Количество серпентина достигает 85%, присутствует сердолик, киннолор, кинноизит, тромолит, актинолит, магнетит (до 5-10%).

Мамско-Оронский плутонический комплекс

Породы описываемого комплекса распространены на территории листа относительно нешироко и известны в север-северо-западной части района, в бассейнах рек Унактикан, Тукумаха и др.

Возрастное положение пород мамско-оронского комплекса определяется тем, что они залегают среди образований патомской серии, прорывая и инъецируя их. С другой стороны, верхний возрастной предел устанавливается на основании прорывания их даиками гранит-порфиритами патовской генетической единицы. Абсолютный возраст гранитоидов мамско-оронского комплекса, определенный калий-аргогиальным методом в лаборатории Э.К.Гернинга, составляет: для гранито-гнейсов - 359-328 млн. лет, для пегматитов - 371-315 млн. лет /5/.

Гранитоиды мамско-оронского комплекса характеризуются слоистым, несколько повышенным магнитным полем, интенсивностью 100-200 Гамм и низкой радиоактивностью.

В составе пород мамско-оронского комплекса выделяются две фазы.

Первая фаза ($\rho_1 \text{PR}_3^m$). Гранито-гнейсы, граниты и метавиты первой фазы распространены в бассейнах рек Алокмочак, Имулини, Унактикан и Тукумах. Размер массивов колеблется от 1 до 10 км². Форма тел неправильная, вытянутая согласно с направлением наращивания вмещающих пород. Гранитоиды часто образуют цепочки и лентообразные массивы. По своей морфологии они, видимо, относятся к типу бескорневых тел пластовой и линзообразной формы. Контакты с вмещающими породами нечеткие, инъекционные; в гранито-гнейсах часто встречаются складки metamорфического субстрата, сохранившие, как правило, первичную слоистость вмещающих пород.

Образование описываемых пород происходило, вероятно, путем гранитизации с явлениями анатексиса вмещающих пород.

Гранитоиды первой фазы в магнитном поле ΔT почти не обособляются от вмещающих гнейсов и сланцев, но уверенно выделяются в радиоактивном поле по содержанию радиоактивных элементов, определенных аэрогаммаспектрометрией: урана - $8-12 \cdot 10^{-4} \%$, то-

рия - $12-15 \cdot 10^{-4} \%$, калия - 2,0-2,3%. Магнитная восприимчивость для лейкократовых гранито-гнейсов в пределах $1200-4500 \cdot 10^{-6} \text{ СЛ}$ /35/.

Гранито-гнейсы, граниты и пегматиты тесно связаны между собой постепенными взаимопереходами и по составу почти не отличаются друг от друга. Основную роль играют гранито-гнейсы, а граниты и пегматиты распространены весьма ограниченно. Последние встречаются лишь по периферии некоторых массивов в виде нешироких полос, окаймляющих тела гранито-гнейсов.

Гранитоиды первой фазы мамско-оронского комплекса - средне- и мелковернистые породы розового-серого цвета. Текстура их, как правило, гнейсовидная, обусловленная плоскогранаральной текстурой, еще реже массивную. Структура гипидроморфновернистая. Иногда аллотриоморфновернистая, грано- и лепидогранобластовая. Иногда встречается порфиробластические выделения микролинза размером до 0,5-1 см. По составу гранитоиды весьма однообразны и представляют собой амфибол-биотитовыми разностями. Минералы блотитовыми и реже амфибол-биотитовыми разностями. Минеральный состав (%): калиевый полевой шпат (40-45), кварц (25-30), олигоклаз (25-27), биотит (0-10), амфибол (5). Аксессорные минералы представлены апатитом, широконом, рутилом, оферном, гранатом, эпилитом, ортитом и магнетитом. Эпигенетические процессы проявлены в мусковитизации, альбитизации, хоритизации, эпилитизации и серпентинизации.

Химическая характеристика гранитоидов первой фазы мамско-оронского комплекса приведена в табл.3.

Вторая фаза ($\rho_2 \text{PR}_3^m$). Гранит-пегматиты и пегматиты второй фазы образуют в верховых р.Тукумах зону обильного насыщения, которая далее к востоку в бассейнах рек Унактикан, Имулини и Алокмочака сменяется зоной одиночных кий. Пространственно пегматиты совпадают преимущественно с терригенно-карбонатными породами слюдянкинской свиты, которые метаморфизованы в условиях амфиболитовой и эпилит-амфиболовой фации регионального метаморфизма.

Отнесение пегматитов ко второй фазе мамско-оронского комплекса основано на прорывании ими образований первой фазы, причем четко устанавливается их генетическая общность как продуктов ультраметаморфизма /6/.

X/ Некоторые исследователи (Б.М.Щекин, 1969 г. и др.) считают, что часть пегматитов имеет магматическое происхожде-

Таблица 3

№ п/п	Содержание окислов, вес. %													Σ
	SiO ₂	TiO ₂	Fe ₂ O ₃	FeO	Al ₂ O ₃	CaO	MgO	MnO	P ₂ O ₅	K ₂ O	Na ₂ O	SO ₃	П.п.п.	
I	70,75	0,52	1,47	2,01	13,81	1,73	0,60	0,07	0,13	4,40	3,00	0,08	0,88	99,45
2	66,01	0,71	2,82	2,65	14,83	2,07	3,20	0,07	0,21	4,70	2,90	0,07	0,09	100,33
3	72,83	0,14	0,24	1,00	13,78	1,02	0,53	0,02	0,09	7,70	2,60	0,01	0,10	100,06
4	74,23	0,10	0,10	1,10	13,68	1,04	0,26	0,05	0,02	5,80	2,76	0,31	0,42	99,87
5	69,05	0,17	1,02	1,52	15,02	1,92	0,59	0,04	0,03	4,60	4,90	0,06	0,58	99,50

Числовые характеристики по А.Н.Заварицкому

№ п/п	a	c	b	s	f'	n'	a'	n	φ	t	Q	a:c	c'
I	12,0	1,9	5,1	81,0	57,8	18,8	23,4	50,5	22,3	0,5	36,1	6,3	-
2	12,1	2,3	10,1	75,5	44,2	48,5	7,2	48,4	21,1	0,7	24,4	5,3	-
3	16,72	0,7	2,45	80,63	45,5	34,4	-	50,0	8,0	0,2	25,97	21,1	20,3
4	14,13	1,24	2,64	82,09	41,8	15,6	42,6	41,0	3,0	0,1	34,58	11,4	-
5	17,2	1,2	4,2	77,4	52,4	23,8	-	61,8	-	-	19,2	14,3	23,8

П р и м е ч а н и е. I - обр. 2560, биотитовый гранито-гнейс, верховье р. Унактыкан; 2 - обр. 2574, амфиболовый гранито-гнейс, верховье р. Унактыкан; 3 - обр. 2622, гранито-пегматит, верховье р. Тукулаха; 4 - обр. 2679, пегматоидный пегматит, бассейн р. Дерасо; 5 - обр. 3085, гранит-порфир, верховье р. Ковакты. Образцы I-4 - из коллекции А.Н.Артемьева, обр. 5 - Ю.К.Варзала. Аналитики М.А.Барановская, Н.Г.Елисейкина, Б.Э.Буковская, лаборатория ИГУ.

Формы и условия залегания пегматитов весьма многообразны. Выделяются целие поля мелких, часто взаимосвязанных тел, штокверкообразных залежей, отдельные крупные и мелкие жилы. Отмечаются пластообразные и линзообразные залежи. Различаются пластовые, секущие и диагонально-секущие жильные тела. Мощность жил колеблется в широких пределах от 0,5-1,0 м до 25-30 м, протяженность - достигает первых сотен метров.

По структурным особенностям среди пегматитов выделяются первичные и вторичные разновидности /Г4/, причем вторичные рассматриваются как продукт перекристаллизации первичных. Первичные разновидности обладают гранитной и ампилитоморфно-зернистой структурой. Жилы, в которых эти структуры доминируют, относятся к гранит-пегматитам и ампилит-пегматитам, преобладающее развитие которых наблюдается в бассейне р. Тукулаха. На первичные структуры в самых разнообразных формах, сочетаниях и соотношениях наложены вторичные, среди которых наиболее распространены пегматоидные и ампиграфические, реже отмечаются типичные граубековые структуры. Часто в пределах одной жилы без видимых закономерностей расположены и те, и другие структуры. Зональное строение жил отмечается редко, при этом в наиболее общей виде оно выражено тем, что зальбанды жил сложены гранит-пегматитом, центральная часть блоковым пегматоидом с выделениями щадоль осевой части жилы обособленный кварц-мусковитовый замещающего комплекса. Последний является наиболее поздним образованием, так как развивается по пегматоидным, ампиграфическим, пегматографическим и другим вторичным разновидностям, замещая пелевые шпаты и целие участки породы.

Качественный минеральный состав пегматитов довольно прост, но количественные соотношения компонентов варьируют в широких пределах. Главные минералы: микроклин - 10-60%, шпатооказ - 10-50%, кварц - 15-50%, стиллы - 5-20%, вторичные - мусковит, альбит, эпидот, реже хлорит; акцессорные минералы - турмалин, магнетит, титаномагнетит, пирокан, апатит, гранат, рутил, сфен. Соотношения минералов в ходе перекристаллизации изменяются следующим образом: ранний плагиоклаз замещается крупными идиоморфами калиевого полевого шата, в котором иногда сохраняются целие участки замещаемой породы, в стеках с плагиоклазом развиваются албитовые катибы. Затем проявляется албитизация полевых шпатов, при замещении микроклина альбитом происходит выделение обильного мирамекита. При мусковитизации, на ранних стадиях происходит замещение биотита, а затем наблюдается кристаллобластическое развитие мусковита по полевым шпатам; одновременно проявляется

кварцевый метасоматоз. Наиболее крупные кристаллы мусковита связаны не с замещающим кварц-мусковитовым комплексом, для которого характерен мелкий чешуйчатый мусковит, а с блоковым пегматитом, в котором спирь тяготеет к складчатым трещинам. Мусковитовые зоны в подобных трещинах достигают мощности 10–12 см, часто они расположены на граниде кварцевых и полевошпатовых блоков. Кристаллы мусковита достигают 150–250 см² (средним 10–15 см²). Пластинчатая спирь сравнительно хорошего качества. Прет мусковита от розового до коричневого, для чешуйчатой спирди, связанной с кварц-мусковитовым замещающим комплексом, характерны зеленоватые оттенки. Часто наблюдаются орастания мусковита с биотитом, кварцем и магнетитом, что резко снижает ее качество. Кудущает качество спирди также трещиноватость, горючение и изогнутость кристаллов.

В магнитном поле ΔT пегматиты, залегающие в высокометаморфизованных породах, не отражаются, но четко выделяются в аэромагнитном спектрометрии по содержанию радиоактивных элементов (уран – $8\text{--}12 \cdot 10^{-4}\%$, торий – $15\text{--}30 \cdot 10^{-4}\%$, калий – 1,5–1,8%).

Часто кимы сплошнослойных пегматитов расположены в пределах зон переменных линейных магнитных аномалий, которые приурочены к тектоническим нарушениям /35/.

Эзоконтактовые изменения во вмещающих породах выражались в образовании ореолов биотитизации, окварцевания, мусковитизации, реже албитизации. Ширина таких ореолов достигает первых десятков метров. При этом возникают крупночешуйчатые сплошные и сплошно-кварцевые породы, иногда гранат-сплошные кварцитоподобные породы. В некоторых случаях кимы и линзы пегматитов окаймлены темноцветными, существенно биотитовыми оторочками, которые возникли, по-видимому, как остаточный продукт при мобилизации кварц-полевошпатовой составляющей пегматита из вмещающих пород. В контактах с карбонатными породами образуются зоны известково-силикатных пород сложного состава (склероиды).

Кроме спирль-мусковита с пегматитами мамако-гронского комплекса связаны проявления редких земель, бериллия и тория, не имеющие практического значения.

ПАЛЕОЗОЙСКИЕ НЕРГУЗЫ

К математическим проявлениям палеозоя отнесены интрузивные образования синьорского, конкудеро-мамаканского комплексов и юрьевые образования качоцкого комплекса.

Качоцкий интрузивный комплекс (табл.3)

К описываемому комплексу отнесены гранит-порфирь, слагающие в северо-западной части территории листа серия кругоподальных даек протяженностью в 2–3 км при ширине от 20 до 100 м, ориентированные в северо-восточном направлении. Даек сектут гранит-пегматиты и пегматиты второй фазы мамако-оронского комплекса. Верхний возрастной предел на описываемой территории не установлен. Контактовые изменения вмещающих пород незначительны и выражаются в ослаблении их перекристаллизации.

Гранит-порфирь – серые, розоватые массивные породы, обладающие порфировой структурой. Основная масса – микротекститная и фельзитовая. Вкрашенники представлены плагиоклазом, калиевым полевым шпатом и кварцем. Вторичные минералы: серпентит, карбонат, хлорит и эпидот.

Химическая характеристика гранит-порфиров качоцкого комплекса приведена в табл.3.

Конкудеро-мамаканский интрузивный комплекс

Гранитоиды конкудеро-мамаканского комплекса распространены весьма широко, они охватывают почти все междуречье Бол. Чуи и Лев. Мамы и Лев. Мамы и слагают ряд массивов в междуречье Бол. Чуи и Лев. Мамы. Массивы, расположенные между реками Монгаканом и Лев. Мамой, носят собственное название Монгаканского. По составу комплекс представляет собой нормальный ряд от гранитов до сиенитов.

Гранитоиды конкудеро-мамаканского комплекса прорывают в бассейнах рек Прал. и Сред. Мамакана фаунистически оконтактизованные отложения нижнего и среднего кембрия /Г7, 21/. На территории листа 049–ХХХII палеозойский возраст гранитоидов, несмотря на значительные колебания цифр, подтверждается определениями абсолютного возраста калий-аргоновым методом (табл.4).

Конкудеро-мамаканский комплекс является типичным комплексом по А.А. Полканову, в условиях глинистой кинематики проходило по А.А. Полканову, в условиях глинистой кинематики платформенного или блокового к нему типа /4/. По морфологии конкудеро-мамаканские интрузии – это резко дискордантные plutoni трещинного типа.

Таблица 4

В составе комплекса четко выделяются две фазы, что основа-
но на взаимоотношениях разновидностей пород и сопоставлениих со
смежными районами.

№ про- пор- ти- ка- ре-	Анализируе- мая порода или мине- рал	Место взятия образца	Абсо- лютный к ⁴⁰ , % раст, млн. лет	к ⁴⁰ · 10 ⁻⁹ г/г	к ⁴⁰ · 10 ⁻⁹ г/г	к ⁴⁰ · 10 ⁻⁹ г/г
162	Биотитовый гранит	Правобере- жье р.Бол. Чуй	320	3,15	73,1	0,0194
564	Лейкократовый гранит	Бассейн р.Монжана	193	3,70	50,0	0,0113
562	Биотит-рого- боодманковый гранит	Там же	178	4,02	50,0	0,0104
597	Рого-боодман- ковый сиенит	"	204	6,87	99,0	0,012
615	Биотитовый гранит	Верховья р.Неруды	255	4,65	85,0	0,0152
2182	Биотит-рого- боодманковый гранит	Верховья р.Лягтурде- ка	280	3,70	70,0	0,0168
34140	Рого-боодман- ковый сиенит	Междуречье Токмак и Иктурулека	255	4,65	60,0	0,0152
3015	Биотит из порфировидно- го гранита	Правобере- жье р.Го- кинд	258	4,32	80,0	0,0154

№ про- пор- ти- ка- ре-	Анализируе- мая порода или мине- рал	Место взятия образца	Абсо- лютный к ⁴⁰ , % раст, млн. лет	к ⁴⁰ · 10 ⁻⁹ г/г	к ⁴⁰ · 10 ⁻⁹ г/г	к ⁴⁰ · 10 ⁻⁹ г/г
162	Биотитовый гранит	Правобере- жье р.Бол. Чуй	320	3,15	73,1	0,0194
564	Лейкократовый гранит	Бассейн р.Монжана	193	3,70	50,0	0,0113
562	Биотит-рого- боодманковый гранит	Там же	178	4,02	50,0	0,0104
597	Рого-боодман- ковый сиенит	"	204	6,87	99,0	0,012
615	Биотитовый гранит	Верховья р.Неруды	255	4,65	85,0	0,0152
2182	Биотит-рого- боодманковый гранит	Верховья р.Лягтурде- ка	280	3,70	70,0	0,0168
34140	Рого-боодман- ковый сиенит	Междуречье Токмак и Иктурулека	255	4,65	60,0	0,0152
3015	Биотит из порфировидно- го гранита	Правобере- жье р.Го- кинд	258	4,32	80,0	0,0154

✓ Все образцы из коллекции А.Н.Аргемеева. Аналитик
С.И.Тарасевич, лаборатория ИГГУ.

Гранитоиды комплекса повсеместно характеризуются повышен-
ним аномальным в разной степени дифференцированным магнитным
полям интенсивностью +400–1000 гамм. Значительное содержание
ортита и циркона является причиной повышенного (до Г7 мкр/ч)
значения радиоактивного поля Г/. Хорошо различаются по содер-
жанию радиоактивных элементов гранитоиды первой и второй фаз
(данные аэрогаммаспектрометрии). Гранитоиды первой фазы содер-
жат (в %): урана – 8–12·10⁻⁴, тория – 12–15·10⁻⁴, кальция – 2–
2,3, второй фазы: урана – 15–20·10⁻⁴, тория – 30–40·10⁻⁴, ка-
лия – 2–2,3 /35/.

✓ Все образцы из коллекции А.Н.Аргемеева. Аналитик
С.И.Тарасевич, лаборатория ИГГУ.

Гранитоиды комплекса повсеместно характеризуются значительным разнооб-
разием сложения и состава. По текстурно-структурным признакам
выделяются неравномерно-среднезернистые, порфировидные крупно-
и среднезернистые и мелкозернистые граниты. По составу темно-
цветов различаются биотитовые, биотит-амфиболовые, амфиболовые
и пироксеновые, а также переходные между ними разновидности.
Текстуры гранитов преимущественно массивные, реже наклонно трахи-
товые и гнейсовидные. Структуры обычно гипидроморфозернистые
и крупногабритовые. Главными минералами гранитов являются: пла-
тиклин – 10–45%, микроклин – 20–65%, кварц – 25–45%. При этом
для среднезернистых и равномернозернистых разновидностей грани-

Таблица 5

№/п	Содержание окислов, вес. %													Σ
	SiO ₂	TiO ₂	Fe ₂ O ₃	FeO	Al ₂ O ₃	CaO	MgO	MnO	P ₂ O ₅	K ₂ O	Na ₂ O	H ₂ O	П.п.п.	
I	73,80	0,20	I,18	I,01	I3,43	0,78	0,30	0,02	0,05	4,90	3,40	0,03	0,31	99,41
2	71,40	0,16	0,48	I,55	I4,56	I,53	0,42	0,02	0,04	4,70	4,10	0,09	0,42	99,47
3	70,69	0,11	0,45	I,12	I6,17	I,56	0,29	0,02	0,03	4,44	5,00	-	0,10	99,98
4	65,55	0,47	I,66	2,38	I5,03	2,86	I,47	0,06	0,24	5,00	4,20	-	0,48	99,40
5	62,14	0,52	2,18	I,55	I7,37	2,77	0,72	0,10	0,11	7,50	4,06	0,07	0,37	99,46
6	71,96	0,20	0,80	I,08	I5,13	I,24	0,46	0,02	0,05	4,40	4,40	0,05	0,37	100,16

Числовые характеристики по А.Н.Заварицкому

№/п	a	c	b	s	f'	m'	a'	n	φ	t	Q	a:c	c'
I	I4,80	0,91	3,82	81,16	50,01	I2,90	37,08	51,26	25,38	0,20	33,24	I5,0	-
2	I5,58	I,78	2,60	80,00	I7,27	26,91	-	56,94	I5,38	0,16	27,04	8,80	I,0
3	I7,07	I,86	2,20	78,76	62,57	I1,52	I6,28	63,0	I6,40	0,11	I1,52	9,10	-
4	I6,31	I,78	7,80	74,07	46,08	I1,66	-	56,01	I7,88	0,53	I3,75	9,10	I2,24
5	20,03	I,72	6,38	I7,88	54,17	I9,43	-	45,07	29,42	0,72	I,92	I1,6	26,39
6	I5,56	2,40	3,50	79,42	47,0	I2,0	I1,4	60,0	I8,0	0,20	26,0	I3,0	-

При меч ани е. I - обр. 26II, порфировидный биотитовый гранит, верховье р. Даокши; 2 - обр. 2132, амфибол-биотитовый гранит, правобережье р. Монюканы; 3 - обр. 564, биотит-амфиболовый грано-сиенит, верховье р. Монюканы; 4 - обр. 3140, биотит-амфиболовый сиенит, верховья р. Иктроудека; 5 - обр. 527, пироксеновый сиенит, левобережье р. Лев. Мамы; 6 - обр. 15II, биотитовый гранит, верховья р. Ор-коликана. Анализы 1-5 характеризуют гранитоиды первой фазы конкудеро-мамаканского комплекса; анализ 6 - породы второй фазы. Все образцы из коллекции А.М.Артемьева. Аналитик К.А.Степанова, лаборатория ИГГУ.

Сиениты распространены менее широко, чем граниты. Это розово-серые, равномернозернистые, среднезернистые, часто неясно-трахигиальные породы. Структуры - гипидроморфозернистые, алломорфомозернистые, реже порфирные. В составе сиенитов главную роль играют микроклин (40-60%) и платиоклаз (25-30%), содержащие калиевую обманку и азтирин-авгит, суммарное содержание которых достигает 7-10%. При увеличении содержания темновальных до 15-25% породы переходят в сиенито-диориты. Подержание кварца редко достигает 1-2%. Среди темновальных преобладают субшелочная роговая обманка и азтирин-авгит, суммарное содержание которых достигает 7-10%. При увеличении содержания темновальных до 15-25% породы переходят в сиенито-диориты. Диориты (δ_1) распространены незначительно и обнаруживают переходы через сиенито-диориты к сиенитам и гранитам. Образование их, вероятно, связано с контаминацией гранитоидной матрицы материала основных изверженных и эфузивных пород. Наиболее крупный выход диоритов расположен в бассейне безымянного притока р. Прав. Мамы. Внешне диориты среднезернистые массивные породы темного цвета. Минеральный состав: платиоклаз - 70-75%, роговая обманка - до 20% (ионда 60-70%), микроклин - до 5%, кварц - 1-5%. Аксессорные минералы - сфеин, апатит, магнетит.

Химический состав гранитоидов конкудеро-мамаканского комплекса отражает особенности его ряда от гранитов до сиенитов (см. табл.5). Четко устанавливается нарастание шелочности от сиенитовых гранитов до пироксеновых сиенитов (коэффициент а), в этом же направлении увеличивается фермическая составляющая (b) и закономерно уменьшается количество свободного кремнезема (Q).

Вторая фаза ($\tau_{12} \delta_1 \delta_2$) включает биотитовые и лейкократовые мелко- и среднезернистые граниты (12), сдагающие довольно крупные массивы внутри пород первой фазы, реже выходящие за их пределы (бассейн р. Токиды). Выделение второй фазы основано на: а) многочисленных фактах прорывания гранитогнейсов; б) автономности их внутреннего строения; в) петрографических характеристик, отличных от таковых для гранитогнейсов первой фазы. Размеры тел гранитов второй фазы достигают 8–9 км в поперечнике, формы массивов изометричные и овальные, часто с апофизами сложной конфигурации.

В эндоконтактах массивов и жил наследуются зоны закалки шириной от нескольких сантиметров до первых метров.

Граниты представляют собой однородные породы розовой и розово-серой окраски массивной текстуры. Структуры аллоториоморфновернистые и глиниоморфновернистые. Минеральный состав: микроклин – 30–45%, птилоклаз (# 20–28) – 30–40%, кварц – 25–30%, биотит – 1–3% (реже 10%). Из аксессорных минералов присутствуют апатит, циркон, магнетит, редко монацит. Ульяновский состав наиболее типичного гранита представлен в табл. 5 (анализ 6).

Контакты интрузий с вмещающими породами резкие, аргутивные. В эндоконтактах часто присутствуют ксенолиты вмещающих пород, иногда настолько обильные, что городы приобретают облик аргутивных бреекций. Эндоконтактовые изменения вмещающих толщ характеризуются значительной неоднородностью, ширина контактовых ореолов колеблется от первых метров до сотен метров. Чистые известники изменяются сладко, в них наблюдается только перекристаллизация и осветление. Известники с примесью глинистого материала образуют скарноиды гранат-диопсид-скаполитового состава, мощность которых не превышает 2–3 м. Терригенные породы перекристаллизованы и образуют темные плотные роговики биотитового, антимонит- и кордиерит-биотитового состава. Биотитовые роговики распространены шире и, например, в ореоле Мониканского мас- сива, в его северной части, они слагают зону шириной до 3 км. Последнее связано, по-видимому, с пологим падением контакта интрузивного тела и с тем, что изменения по простиранию слоясто-сланцеватой толщи распространяются несколько дальше, чем вкrest простирания. В целом контактовый метаморфизм, связанный с инт- рузиями кондуро-мамаканского комплекса, определяется как контактовый фации биотитовых и кордиеритовых роговиков.

Жильные образования распространены весьма широко, особенно в междууречье Лев.Мамы и Больш.Чуи. Залегают они как в пределах интрузивных массивов комплекса, так и в вмещающих породах. По вещественному составу выделяются сиенит-порфирры (ξ_1), гранит-порфирры ($\tau_1 \tau_2$) и амфиби (τ_2), меньшую роль играют лампрофирры (χ_2). Преобладающее простирание даек северо-восточное, протяженность достигает 500 м при мощности не выше 10 м. Даек преимущественно кругопадающие с углом падения не менее 70°.

Сиенит-порфирры – мелкозернистые порфировидные породы розово-серого и кирпично-красного цвета. Порфировые вкрапленники представлены таблитчатыми кристаллами темного микроклина и ортоклаза, реже птилоклаза. Содержание вкрапленников может достигать 20–30% объема породы. Основная масса имеет глиниоморфновернистую структуру и состоит из калиевого полевого шпата (70–80%), птилоклаза (5–25%), небольшого количества биотита (до 5%) и пироксена (3–5%). Аксессорные минералы – апатит, магнетит, циркон.

Гранит-порфирры отмечаются в Мониканском массиве и по его периферии. Они представляют собой мелкозернистые розовые породы с обильными порфировыми вкрапленниками калиевого полевого шпата и кварца. Основная масса микротранзитная до фельзитовой. Состав основной массы: кварц – 20–25%, птилоклаз и амфиб-олигоклаз – 35–40%, пелитизированный микроклин – 20–25%, небольшое количество биотита (менее 10%). Из аксессорных минералов присутствуют орфен, апатит, магнетит, циркон и ортит.

Амфиби присутствуют только в пределах интрузивных массивов. Это маломощные жилы небольшой (первые десятки метров) протяженности. Представляют собой светло-серые мелкозернистые породы с аллоториоморфновернистой амфиболовой структурой. Минеральный состав: микроклин – 40–60%, птилоклаз (# 15–25) – 15–20%, кварц – 30–35%, присутствуют единичные чешуи биотита, зерна магнетита, циркона, апатита.

Лампрофирры представлены преимущественно герсанитами. Внешне – это темные мелкозернистые породы массивной, реже сланцеватой текстуры. Содержат порфировые вкрапленники блестящего черного биотита. Структуры порфировые, основная масса микротранзитная. Состав основной массы: птилоклаз (андезин # 30–35); биотит, роговая обманка; присутствуют кварц, амфиб, рудный минерал. Лампрофирры отмечаются как в самих интрузивных массивах, так и на небольшом удалении от них (до 1 км).

Проявления полезных ископаемых, связанных с кондуро-магматовыми фациями биотитовых и кордиеритовых роговиков.

маканским комплексом, немногочисленны. Они представлены бериллиевой и молибденовой минерализацией, связанной с постмагматическими процессами. Наиболее минерализация сопряжена с разрывом в гранитоидах низких концентраций акцессорного яккимита. Тонкокристаллический фторит сопровождает молибденовое и бериллиевое оруджение и самостоятельного значения не имеет.

Сыннурский интрузивный комплекс ($\epsilon_{\text{Р27}, \text{л}}$)

Целочные (ϵ) и нефелиновые сиениты (ϵ) сыннурского интрузивного комплекса слагают крупный массив (Сыннурский), охватывающий межгорье Лев.Мамы и Бол.Чуя (от истока р.Шаман до р.Сред.Амуджакан – притоков р.Лев.Мамы), а также небольшие интрузивные тела в бассейнах рек Иктурулека и Дашики.

Палеозойский возраст сыннурского комплекса определяется проявлением целочными породами эйкузинных и осадочных образований верхнего протерозоя (ондокская, итыкитская, сыннурская и монганская свиты) и карбонатно-терригенных отложений нижнего кембрия (кохтинская и холодниковская свиты). Целочные породы прорывают кондлеро-маканского комплекса /8, 28/. Абсолютный возраст биотита и флогопита из нефелиновых сиенитов, определенный калий-аргоновым методом в лаборатории Э.К.Герлинга, равен 304–349 млн. лет /8, X/.

Сыннурский массив имеет изометрическую (диаметр 27 км) форму, общая его площадь составляет 570 км². В магнитном поле

массив имеет несколько меньшие размеры, что связано с наличием в краевых частях интрузии слабомагнитных и немагнитных разновидностей пород. На юго-западе магнитное поле массива без видимого перехода сливается с аномальным положительным полем эйкузинов сыннурской свиты. Границы радиоактивного поля над массивом поглощают с геологическим гранитами /35/.

Сыннурский массив обладает четко выраженным концентрически-эональным асимметричным строением. Центральное ядро массива сложено целочными сиенитами (шуласкитами и гедрутитами), периферийные части – берелиновыми сиенитами, среди которых последовательно выделяются зоны, образованные (от центра к контектам) микролегматитовыми нефелиновыми сиенитами, лагротитами с линзообразными залежами флюитов. Ширина зон распространения разновидностей целочных пород варьирует от 500 м до нескольких километров. Концентрически зональное строение Сыннурского мас-

сива четко отражено первичными структурами течения – трахиоидностью и полосчатостью. Трахиоидность выражена закономерной ориентированной таблитчатых кристаллов полевого шпата, реке темнолаветов. Наиболее ярко трахиоидность выражена в целочных сиенитах ядра массива, слабее в нефелиновых сиенитах периферийных зон. Полосчатость (перекование тонких и грубых полос, отличных по зернистости и минеральному составу) характерна для нефелиновых сиенитов. Простирание трахиоидности и полосчатости внутри массива в целом совпадает, но углы падения не выдержаны даже на небольших расстояниях. В целочных сиенитах трахиоидность падает к центру массива, ближе к контактам элементы застекляются на обратные, круглана углов падения колеблется от 30 до 90°. Внедрение интрузии сопровождалось kontaktаминей в ее краевых частях, в результате возникли контакты и полосы, склоненные меланократовыми породами типа амфибол-диоритовых и прижес-биотитовых сиенитов, отмечаются в различной степени переработанные зурутиевые брекчи.

Зональное строение Сыннурского массива хорошо отражено в магнитном поле ΔT . Центральная часть его, склоненная целочными сиенитами, характеризуется неоднородным положительным полем ΔT со значениями от +500 до +2000 гамм, в краевой части параметры значительно ниже. Для пород массива характерны высокие значения гаммаактивности (до 22 мкР/ч) и повышенные концентрации радиоактивных элементов (по данным аэрогаммаспектрометрии): урана – $10\text{--}15 \cdot 10^{-4}$, тория – $18\text{--}20 \cdot 10^{-4}$, калия – $3,4\text{--}5 \cdot 10^{-6}$.

Среди целочных сиенитов выделяются шуласкиты и гедрутиты.

Шуласкиты – крупновернистые, трахиоидные породы розовато-серого и розового цвета. Структура преимущественно гипидоморф-вернистая. Минеральный состав: ортоклас – 95–98%, роговая обманка – 1–2%, атирин-авит, биотит, иногда нефелин. Аксессорные минералы – офер, апатит, магнетит, титаномагнетит, меланит.

Гедрутиты – крупно- и средневернистые породы серого, реже розового-серого цвета с отчетливой трахиоидностью. Структура гипидоморф-вернистая и призматическая-вернистая. Главным минералом является ортоклас – 75–90%; второстепенные: атирин-авит – 5–7%, нефелин – 1–4%, биотит – до 1%, редко встречается целочная роговая обманка. Аксессорные минералы – офер, офер, магнетит. Эгирин-авит содержит 10–15% атириновой молекулы. Ортоклас, как правило, палинизован и альбитизирован (альбит составляет до 15% породы).

^X Некоторые исследователи целочные породы сыннурского комплекса считают более древними, чем гранитоиды кондлеро-маканского комплекса /25/.

Нефелиновые сиениты распространены наиболее широко. Среди них выделяются литроиты, нефелиновые сиениты микролейцитовой обусловлены цветом нефелина или связанных с ним минералов. Текстуры преимущественно массивные, реже трахиоидные и полосчатые, структуры гипидиоморфозернистые, алитогидиоморфозернистые, участками микролейцитовые (за счет срастания калишпата с нефелином). Состав литроитов: белые полевые шпаты (ортоклаз и микроклин) – 45–85%, нефелин – 7–45%, в среднем 20%; из темно-зеленых: биотит – 1–5%, альбит-авит – до 1%; часто присутствует содалит – 2–5%, редкие зерна псевдолейшина; У контакта с мраморами появляются меланит, кальцит. Вторичные минералы представлены серпентитом, канкринитом, либенеритом. Аксессорные минералы – оферн, титаномагнетит, апатит, циркон.

Нефелиновые сиениты микролейцитовой структуры образуют концентрическое кольцо вокруг белых сиенитов, и имеют с ними и дигитритами поставленные переходы. Отличаются они неясно-зернистым стекловатым сближением и светлой окраской. Кроме трахиоидной и массивной текстур для пород очень характерна тонкая полосчатая текстура. Микролейцитовая структура, обусловленная тонким прорастанием белочного полевого шпата (ортоклаза) и нефелина, образует участки на фоне гипидиоморфозернистой структуры, реже она присутствует всей породе. Состав этих пород и литроитов совпадает.

Добычины образуют линзовидные залежи в литроитах и связаны с ними постепенными переходами. Это темно-серые породы трахиоидной структуры. В их составе отмечается ортоклаз – 50–65%, альбит – 25–30%, нефелин – 10–15%. Аксессорные минералы: апатит – до 1% и оферн.

Псевдолейцитовые сиениты являются краевой фациальной разновидностью литроитов и развиты по северной оконечности массива. В целом они близки литроитам, но отличаются породородной структурой и меньшим количеством нефелина. Порфиритовые аквадиленники представлены кристаллами псевдолейкита размером до 2 см. Количества псевдолейкита неравномерное – 1–20%, максимум его приходит-ся на зоны, которые прилегают непосредственно к контакту.

Интрузии синирского комплекса сопровождаются широким ореолом термального kontaktового метаморфизма, при этом kontaktово-измененные породы достаточно разнообразны и зависят от состава

вмещающих пород. Ширина зон kontaktового метаморфизма варьирует в широких пределах от первых сотен метров до 1,5–2 км. В пределах kontaktового ореола по терригенным породам развиваются разнообразные роговики, из которых наиболее распространены биотит-андалузитовые, реже биотит-кордиерит-трансформатовые и силиманит-андалузитовые, редко биотит-кордиерит-трансформатовые и силиманит-биотитовые роговники. Основные эфузивы синирской свиты в зоне экзоконтакта нефелиновых сиенитов преобразованы в роговообманково-платиклазовые породы, шириня зоны изменения достигает 500–700 м. Наиболее разнообразны изменения в карбонатных породах коктуйской свиты. Чистые известняки прекристаллизуются с образованием светлых крупнозернистых мраморов, гораздо сильнее изменяются известковые породы с примесью глинистого материала и доломита. При этом образуются скарны различного состава. Потоком переслаивающихся песчаникам и известнякам развиваются полосчатые скарны амфибол-биотитового и дюплиц-амфиболового состава. Известняки, доломитовые известняки и доломиты преобразуются в разнообразные форстерит-диопсид-доломитовые скарны, фации пироксеновых роговиков.

Жильные образования, связанные с синирским комплексом, распространены широко. Среди них выделяются шонкиниты (ϵ_v), сельсобергиты (ϵ_t), тингуиты (ϵ_c) и нефелин-сиенитовые пегматиты (ρ). Их формирование происходит в два этапа. К первому этапу относятся дайки и сломанные залежи шонкинитов и нефелин-сиенитовых пегматитов. Шонкиниты тяготеют к зоне переходов от белочных к нефелиновым сиенитам, часто они слагают целые поля даек и ким, причем ясно намечается их связь с трещинами северо-восточного ($40-50^\circ$) и северо-западного ($290-300^\circ$) простирания. Нефелин-сиенитовые пегматиты слагают недолгие линзообразные и неправильные тела, нечетко обособленные от вмещающих нефелиновых сиенитов. В верховых р. Сред.Амуданак развита серия сближенных ким с простиранием SW 50° и протяженностью 5 км при ширине до 1 км. Эти пегматиты представляют собой гигантозернистые породы, на 80% состоящие из пертит-циркона и нефелина. Присутствуют нефелин, кристаллы биотита, реже альбит-авита. Аксессорные минералы: магнетит, оферн, флюорит (до 2–3%) и апатит.

К жильным образованиям второго этапа относятся секущие дайки сельсобергитов и тингуитов, причем наблюдалось пересечение

ние даек тинтуитов киль покинутов (верховья р. Ушмы). Мощность даек достигает 2-3 м, протяженность до 100-150 м. Простране преимущественно субширотное.

Химические анализы пород синирского комплекса представлены в табл. 6.

Со щелочными породами синирского комплекса генетически связаны интересные проявления полезных ископаемых. Из них наиболее важное значение имеет амантит, образующий в последние стадии становления нефелиновых пегматитов. С постмагматической альбитизацией нефелиновых пегматитов и со скарнами связана редкоземельная и ториевая минерализация. В скарнах наблюдается выделение кристаллического флогопита.

ТЕКТОНИКА

Территория листа 0-49-ХХШ расположена в пределах северо-западной части Байкальской складчатой системы и приурочена к юго-западному окончанию Бодайбинского внутреннего прогиба, в области сочленения многосинклинального и автогосинклинального поясов байкальской /ГГ/. Наиболее крупной структурой многосинклинального пояса является Мамский синклиниорий, сложенный образованиями верхне-протерозойского структурного яруса и охватывающий часть Бодайбинского внутреннего прогиба. На месте автогосинклинального пояса расположен Конкудерский антиклиниорий, входящий в состав Байкало-Витимского поднятия, и сложенный городами нижнепротерозойского и частично среднепротерозойского структурных ярусов (рис. 2).

Нижнепротерозойский структурный ярус

Людды яруса в пределах территории листа слагают северо-западное крыло Конкудерского антиклиниория. В его строении принимают участие сложностилизированные эндогенно-терригенные образования верхней подсерии муйской серии, с которыми тесно связаны габбролиты второй фазы муйского комплекса и синорогенные граничные складки второй фазы того же комплекса. Главная фаза складчатости завершилась в конце раннего протерозоя. Основные структурные формы выражены недостаточно полно вследствие отсутствия надежных склоновых текстур, интенсивного развития разрывных дислокаций и сильной обнаженности. Установлено, что в юго-восточной части территории преобладают узкие линейные складки высоких по-

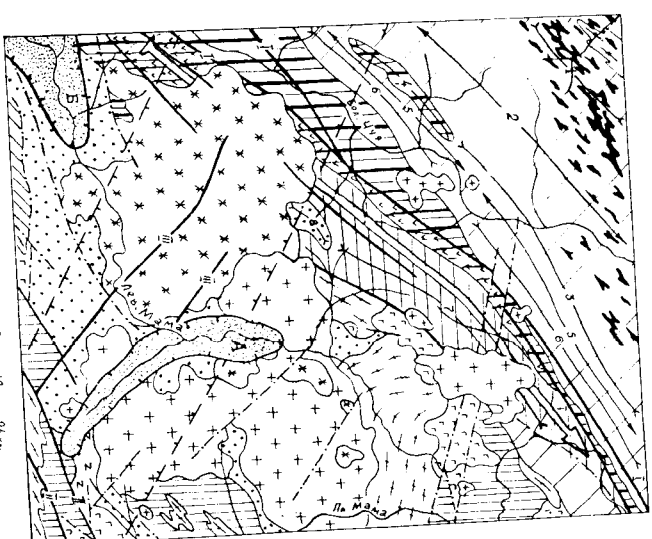


Рис. 2. Тектоническая схема

1 - нижнепротерозойский структурный ярус; 2 - среднепротерозойский структурный ярус; 3 - нижний подъярус; 4 - средний подъярус; 5 - эфрузийный ярус; 6 - верхний подъярус; 7 - Токидинская депрессия; 8 - Кайнозойский ярус; 9-14 - интрузионные комплексы; 9-10 - Муйский; 9 - вторая фаза; 10 - третья фаза; 11 - Довыренский; 12-13 - Мамско-Ороныский; 14 - Конкудеро-Маканский; 15 - Синирский; 16 - ось синклинальных складок (на схеме); 1 - Асильтской; 7 - Монгольской; 3 - Имулиндинской; 4 - Богодактинской; 6 - Чуйской; 8 - Шамановской; 17 - ось антиклинальных складок; 2 - Чарванская; 5 - Амутберенской; 18 - разрывные нарушения, входящие в систему региональных и глубинных разломов (на схеме); 1 - Мамского, II - Оржолинского; 19 - зона влияния Когандинско-Синирского склона глубинного разлома; 20 - прочие разрывы; 21 - ось Мамского синклиниория

Таблица 6

№/п	Содержание окислов, вес. %													П.п.п.	Σ
	SiO ₂	TiO ₂	Fe ₂ O ₃	FeO	Al ₂ O ₃	CaO	MgO	MnO	P ₂ O ₅	K ₂ O	Na ₂ O	H ₂ O			
I	55,70	0,94	4,18	2,82	15,81	5,05	2,96	0,14	0,35	8,64	3,43	0,24	0,62	100,88	
2	54,84	0,12	1,07	1,08	22,50	0,87	0,42	0,02	0,02	12,35	4,00	0,17	1,82	99,28	
3	55,68	0,26	1,31	1,14	22,06	0,75	0,82	0,02	0,11	13,54	2,55	0,32	1,29	99,85	
4	55,69	0,30	0,72	1,27	20,43	0,55	0,60	0,03	0,07	18,19	1,57	0,22	1,04	100,69	

Числовые характеристики по А.Н.Заварицкому

№/п	a	c	b	s	f'	m'	a'	n	φ	t	Q	a:c	c'
I	19,6	0,6	16,6	62,90	38,0	29,0	-	37,0	21,0	1,2	13,7	32,6	37,0
2	28,5	1,1	4,1	66,2	51,0	17,5	31,5	33,0	24,5	0,1	25,6	25,1	-
3	26,3	0,9	6,4	66,4	35,6	22,2	42,2	22,3	17,8	0,3	20,7	29,2	-
4	28,7	2,3	2,2	66,8	-	50,0	-	12,0	25,8	0,4	26,1	12,5	32,0

П р и м е ч а н и е. I - обр. 4117, гедрумит, верховье р. Ушмуна; 2 - обр. 670, дитроит, верховье р. Талы; 3 - обр. 601, нефелиновый сиенит, водораздел рек Куйкипури и Талы; 4 - обр. 2029, нефелиновый сиенит микропегматитовой структуры ("сыннырит"). Образцы I-3 из коллекции С.Н.Лагерева, лаборатория БГУ, обр. 4 - из коллекции А.Я.Жидкова (1957).

риджков, имеющие простирание SW 50-70° с крутами (до 70-80°) ут-
дами падения крыльев. Простирание структур меняется от северо-
восточного (на северо-востоке) до субширотного и северо-запад-
ного, при этом текстуры синорогенных гранитоидов целиком повто-
ряют общий рисунок складчатости.

Среднепротерозойский структурный ярус

На крайнем юго-западе антиклиниория выделяются образования среднепротерозойского структурного яруса, представляющие собой гетерогенное складчатое образование первого порядка. Его протяженность изменяется сотнями километров при ширине до 50-60 км. Синклиниорий характер этой структуры определяется положением полосы выполненных синклиниорий верхнепротерозойских отложений между двумя геоантеклиниориями (Лужским и Кондукгерским), сложенными более древними комплексами. Границами синклиниория служат поверхности перерывов и несогласий. Эта граница на северо-западе проводится в подошве Чукчинской свиты, а на юго-востоке - по базальным слоям патомской серии нижней подсерии и плюбинному разрыву, по которому сорвана часть юго-восточного крыла синклиниория.

Положение осевой части синклиниория определяется полосой распространения наиболее молодых отложений мониканской свиты верхнего протерозоя, в этом случае она совпадает с Мониканской синклиниорией. Общее простирание оси синклиниория и структур второго и более высоких порядков северо-восточное. Шарнир синклино-
рия воодушевляется к юго-западу. Заложение Мониканского синклиниория отнести к началу среднего протерозоя, поскольку в его строении принимают участие образования среднего (?) и верхнего протерозоя. Мониканский синклиниорий перекрыл длительную историю раз-

вия; в его пределах можно выделить три структурных подъярусса верхнего протерозоя.

ВИЖНИЙ ПОДЪЯРУС

Нижний подъярус включает отложения витимской и слюдянской скважинской синклинальной структуры, которая осложнена складками крупной синклинальной структуры, которая осложнена складками второй и более высоких порядков, имеющих общее северо-восточное (50–60°) простирание. Шарниры складок полого взаимодействуют на

шт-запад.

Чарвицкая антиклиналь (2) и сопряженная с ней Иемулийская синклиниальная (3) являются структурами второго порядка, усложненными юго-восточное крыло Мамского синклиория. Оси этих складок лежат на выдержанное северо-восточное простирание. Длина складок достигает 40–46 км, размах крыльев 8–10 км. Падение склонности склонов преимущественно северо-западное под углами от 5 до 75°. Наиболее часто углы падения составляют 15–30°. Складки за-прокнуты на юго-восток и усложнены пликативными нарушениями более высоких порядков. Часто отмечаются флексураобразование перегибы, переходящие иногда в мелкие запрокнутые на юго-восток складки. Шарниры складок удлиняют, что приводит к извилистости очертаний контактов между отдельными горизонтами. Широко развиты дистогармоничные складки, особенно в горизонтах двуспоряд-ных сланцев.

К юго-западу от Индигиринской синклинали за небольшим антиклинальным перегибом располагается Чуйская синклиналь (6). Это узкая линейная складка северо-восточного простирания, замыкающая в бассейне р.Бол.Чуй и прослеженная на северо-восток до границы территории на протяжении 40 км. Ядро ее выполнено отложениями стодянкинской свиты. Ширина структуры на крыльях застелена образованиями яитимской свиты. Ширина структуры 4-5 км. Шарнир ее полого воздымается к юго-западу. Синклиналь симметричная, углы падения слоев на крыльях $35-60^{\circ}$, иногда 70° . В районе центральной части синклинали от антиклинального замыкания

складки в северо-восточном направлении устанавливаются постепенное запрокидывание ее на юго-восток. Аналогичная тенденция к запрокидыванию складок для этого участка отмечается и в высокогорье.

Средний подъярус

Средний польярс сложен образованиями средней подсерии па-
томской серии в составе олекитской, ондокской, итникитской и
сыннырской свит. Польярс занимает центральную часть территории
прослеживаясь от приустьевой части р. Чарво в северо-восточном
направлении в виде сужающейся полосы. Основанием для выделения
данного польярса (в самостоятельную структурную единицу) по-
служило его взаимоотношение с более древними и молодыми струк-
турами. На водоразделе рек Чарво - Большой Чук установлено несогла-
сие между витимской и олекитской свитами. Азимут падения слои-
стости сланцев витимской свиты здесь юго-восток 125-135° с уг-
лом падения в 60-70°, а залегание на сланцах гравелиты олекит-
ской свиты содержит обломки подстилающих пород и падают на се-
лою юг шириной 70-80°.

крыло этой структуры, а юго-восточное удалено интрузиями и срезано тектоническими нарушениями. Ориентировано крыло шириной синклинала 15–20 км, протяженность ее в пределах территории листа около 80 км.

Сохранявшееся северо-западное крыло представляет собой моноклиналь, усложненную пологими складками второго порядка. Протирание слоистости выдержанное северо-восточное, падение на юго-восток под углами 30–60–80°. В северо-восточной части отмечается запрокидывание моноклинали на юго-восток. В верховых частях породы смты в горизонтальную флексуру.

ЧУЖИСКОМУ СВИТУ авторы включают в нижний подъясо-
полнедреторского возраста, так как она тесно связана с
вятимской свитой.

ская синклиналь). Это довольно простая симметрическая складка.

Простирание ее северо-восток $35-50^{\circ}$. Длина 18 км при ширине от 1 до 1,5 км. Падение крыльев под углами $60-70^{\circ}$. Кроме того, здесь же, на левом борту р.Бол.Чуя, закартированы еще две не-большие (длиной 3-4 км) синклинальные складки, совершенно ана-

логичные вышеописанной.

В заключение следует отметить, что пликативные структуры

второго подъярусса значительно проще, чем первого.

Верхний подъярус

Верхний подъярус сложен породами монжанской свиты, которые со стратиграфическим несогласием залегают на образованиях среднего подъяруса. Монжанская свита, в свою очередь, не-согласно перекрываетсь породами холдининской свиты нижнего кембрия.

Породы этого подъяруса дислоцированы в крупную синклинальную складку, названную нами Монжанская складка на от-
кляниадль (7). Юго-восточное крыло этой складки на от-
резке между Монжанским гранитным и Сынгирским сиенитовыми мас-
сивами, на расстоянии около 20 км срезано крутым разломом, ко-
торый в этом интервале разграничивает структуры южного ком-
плекса от пликативных дислокаций верхнего протерозоя. В устьевой
части р.Монжан и далее на северо-восток по границе листа раз-
ломом срезается ядерная часть структуры и почти целиком ее северо-
западное крыло, за исключением пачки базальных конгломератов,
лежащих в его основании.

Простирание оси Монжанской синклинали северо-восточное
35-45°. Ширина ее полого возрастает в юго-западном направлении.
Длина северо-западного крыла в пределах описываемой территории
55-56 км, ширина его около 6-7 км. В бассейне р.Шаман северо-
западное крыло Монжанской структуры залегает с углами падения
на юго-восток в $25-60^{\circ}$. По мере продвижения в верховья р.Монжан
и далее на левобережье р.Мамы наблюдается постепенный про-
цесс переброски крыла и запрокидывание складки в целом на
юго-восток. Запрокидывание залегания четко фиксируется по пове-
дению базальных конгломератов, по соотношению склонности и кру-
тизны и по направленности мезо- и микроритмов.

Х/ Возможно, что образования монжанской свиты венчают в
данном районе разрез верхнего протерозоя, а по формально-литологи-
ческому они являются типичными верхними молассами байкальской
поздне-протерозойской геосинклинали (прим.ред.).

Монжанская синклиналь (главным образом, ее северо-запад-
ное крыло) окружено складками и более высоких порядков. В вер-
ховых р.Монжан установлен ряд сопряженных антиклинальных и
синклинальных складок с видимой длиной их до 5 км при ширине
крыльев от 1,5 до 2 км. Падение склонности на крыльях составляет
 $40-50^{\circ}$. Складки запрокинуты на юго-восток. Наклон осевой по-
верхности составляет $40-45^{\circ}$. В некоторых местах фиксируется бо-
лее мягкая изоклинальная складчатость с размахом крыльев скла-
док до 10-25 м и менее.

Нижнепалеозойский структурный ярус

На стыке многосинглинального и звездообразного поясов
районом расположена область палеозойских опусканий, в которых
развиты образования нижнепалеозойского структурного яруса. От-
ложения холдининской и коктюбинской свит нижнего кембрия перекры-
ваются с угловым, азимутальным и стратиграфическим несогласиями
складчато-дислокированные породы нижнего и верхнего протерозоя.
Характер пликативных дислокаций структурных отложений
отличен от таких в нижне- и верхнепротерозойских структурных
ярусах. Здесь преобладают пологие линейные, иногда брахиформные
складки северо-восточного простирания, ориентированные под раз-
ными углами к складчатым структурам нижнепротерозойского яруса.
В целом структуру этого яруса можно рассматривать как крупную
синклиналь, залегающую на жестком нижне-, средне- и верхнепро-
терозойском фундаменте, причем развитие этой структуры в зна-
чительной мере предопределено древними разломами.

В пределах яруса установлены складки неизвестных разме-
ров III и IV порядков. В верховых р.Шамана на породах монжанской
свиты с азимутальным и угловым несогласием залегают отложения
холдининской свиты, образующие синклинальную складку, названную
Шаманской (8). Ширина ее ориентирована на СВ $50-55^{\circ}$ и погружа-
ется в юго-западном направлении. Сохранившаяся северо-восточ-
ная часть складки длиной около 7 км имеет симметрическое строение
с углами падения крыльев в $20-30^{\circ}$. Размах крыльев достигает
3 км.

В приступьевской части р.Нерчин залегают северо-запад-
нее крыло другой синклинальной складки. Юго-восточная и южная
части структуры уничтожены палеоводоемами гранитами. Простирание
шарира сужено восток с выдержаным падением крыльев на юго-
восток под углами 40° , реже 60° .

Отложения южноуральской свиты смыты в антиклинальную складку, расположенную по правому берегу р.Лев.Мамы, ниже устья р.То-канды. Ось ее имеет субмеридиональное простирание и испытывает плавное погружение в северном направлении. Складка асимметрична: восточное крыло падает под углами 50-60°, а западное - 20-30°. Большая часть складки уличтожена интрузией и повторно тру-но судить о ее размерах.

Кайнозойский структурный разлом

В мезой-кайнозойское время происходит формирование Баш-кайского седлового поднятия и владины оз.Байкал /Г3/. В современную эпоху движение продолжается, на что указывает наличие надпойменных террас, аллювиальных форм рельефа, слабая разра-ботанность продольного профиля долин и интенсивная их лонная эрозия.

Неотектонические движения проявлялись в виде дислокативных нарушений, выраженных в современном рельфе уступами, а также в виде градиентообразных впадин, таких как Токиндинский и Левомамский грабен. Первый ограничен разрывами в бассейнах рек То-кинды и Абаканка. Второй занимает верховье долины р.Лев.Мамы к юго-западу от р.Сред.Амгуцкан. Существование их установлено по наличию зон разломов, оконтуривающих владины, и увеличению мощности четвертичных отложений. Повышенная мощность последних подтверждается гравиметрическими данными /35/.

Разрывные нарушения

Разрывные нарушения в районе весьма многочисленны и разно-образны по размерам, морфологии, пространственной ориентировке и времени заложения. Резко преобладают крутые разрывы - сдвиги, сбросы, взбросы и различные комбинации этих форм. Господствующее направление разрывов северо-восточное, реже отмечается кру-тое направление разрывов северо-западного простирания. Углы падения разло-

мов в среднем не менее 45°, что подтверждается данными анализа четких гравиметрических уступов /35/. Наиболее значительной раз-рывной структурой является Мамский разлом (Г), пересекающий территорию листа Налычий разлома на северо-западе. Разлом имеет северо-диагональное простирание, ширина его зоны достигает 10 км. Мамский разлом может рассматриваться как глубинный, время существования

которого, по-видимому, прослеживается с нижнего протерозоя. Движение в зоне разлома продолжалось до кайнозоя (Верхне-Чуй-ский грабен тяготеет к описываемой зоне).

Несомненной является роль разлома в контроле размещения метаморических масс, так как к его зоне приурочены массивы палео-зойских гранитоидов (Монголанский, Сыннурский массивы и др.), а также основные эфузивы Сыннурской свиты. Вероятно, Мамский разлом является нарушением, по которому смешены образования

юго-восточного крыла Мамского синклиниория.

К зоне разлома приурочены, кроме того, многочисленные на-рушения северо-восточного простирания (30-40°). Морфологически они представляют крутые сбросы, плоскости сместителей которых облика к вертикальным. Амплитуды сместений довольно значительны, судя по тому, что в соприкосновении часто приведены резко раз-личные части разреза. Зоны этих нарушений сопровождаются интен-сивной мелюнистизацией, катаклизом и рассланцеванием. Часто к зонам приурочены обильные кварцевые жилы и прожилки. В гравита-ционном поле зоны Мамского разлома находят свое выражение как зоны гравитационной силы тяжести или резких виражей изоаномалий /35/.

Весьма значительное влияние на формирование структуры име-ла зона Когандско-Сыннурского с к р и т о г о г л у б i н n o г o р a з l o m a (Ш), имею-щего северо-западную ориентировку, параллельную к простиранию господствующих структур. Ширина зоны влияния разлома на дневной поверхности составляет не менее 20 км. На территории листа раз-лом прослеживается от бассейна р.Токинды в северо-западном на-правлении до западной границы. По геофизическим данным разлом представляет собой серию куполообразно расположенных трещин, отдающих к северу /35/. Время его заложения фундамента, пологолападших к северу относится к нижнему протерозою, движения продолжаются до сих пор, так как в зоне его влияния находятся эпицентры современных землетрясений.

В верхнем структурном этаже разлом выражен крутыми изгиба-ми верхнепротерозойских толщ на отрезке от р.Бол.Чу до р.Киль-ты, резким уменьшением к северо-востоку мощности синнурских эф-узлов и наличием щелочных интрузий синнурского комплекса. Именно на пересечении Когандско-Сыннурского и Мамского разло-мов расположены самый крупный шток щелочных по-

род - Сыннурский массив.

Проявления дислокационного метаморфизма, имеющего ориенти-

ровку, согласную с общим северо-западным и субширотным простиранием зоны, являются редкими. К юго-западу от разлома преобладают, по-видимому, положительные движения, о чем свидетельствует резкое увеличение ширины выхода древних образований Чуской зонты на площади сименного с запада листа 0-49-ХХVII. Об этом же говорят быстрое выклинивание к юго-западу сравнительно широкой полосы отложений монгольской синклиниали. На юго-восточном фланге прорезанной зоны Когандинско-Сынинского разлома он отражен в выклинивании южного крыла западного пояса.

ото крутыми соросами северо-западного склона. В геодинамических полях, по данным В.И.Никишина, разлом так-
же имеет четкое выражение. К северу от него резко уменьшается

общая напряженность магнитного поля и количество анималисса-
полярностей, резко падают содержания тория и урана. В гравита-
ционном поле наблюдается резкое вытеснение изотопов в субширотном

рает не менее 2-3 км /35/.

Четко обособлена серия древних сбросов северо-западного простирания, расположенных в бассейне нижнего течения р.Лев-Маны. Установляется их смешение более молодыми нарушениями и прекращение верхнепротерозойскими отложениями. Нарушенные сопровождаются широкими зонами рассланцевания с крутыми углами падения до 60–80°, рассланцевание сопровождается минеральными образованиями, характеризующими термодинамические условия зеленосланцевой фации.

История геологического развития

Серия разнонаправленных более молодых нарушений развита в южной половине района в области распространения кембрийских отложений и палеозойских интрузий. Многие нарушения разграничиваются разновозрастные образования и по их прямолинейному рисунку могут быть квалифицированы как сбросы. Исключением служит крутой надвиг в верховых рек Дильтуки и Ниж.Амгунахана, по которому на осадки кембрия надвинуты юрские жебеленской свиты. Поверх чешм раннедевонской, определить затруднительно.

Наиболее молодой является группа нарушений, ограничивающих кайнозойские традиции и определяющих прямолинейный и ступенчатый рисунок некоторых рек, в частности Токиды и Мал.Уллокита. Все они, по-видимому, являются сбросами небольшой амплитуды, и образование их связано с мезо-кайнозойской тектонической активизацией.

серии, образующиеся, главным образом, за счет перестояния кор выветривания. В начале позднего протерозоя активизируются крупные разломы, энергия протибания резко возрастает, и в пределах исследованной территории закладывается многостадийный протоб, являющийся юго-западной ветвью Бодайбинского вытесненного протоба, где накапливается мощная терригенно-карбонатная толща нижней подсерией патомской серии.

К середине позднего протерозоя происходит расширение прогиба, в опускание вовлекаются краевые части Чуйского и, по-видимому, Байкало-Битумского поднятий, сопровождающееся отложением

трубободломочных конгломератовых слоев на фланках, тогда как в центральных частях прогиба отлагаются песчано-глинистые и карбонатные осадки. Затем наступает эпоха инверсии, возникают поднятия, а по глубоким расколам (возникшим, по-видимому, на месте древних) происходят подводные измывания основной магмы и формируется мощная толща вулканогенных и вулканогенно-осадочных пород синирской свиты. В конце позднего протерозоя после довольно значительных поднятий и размыва в относительно неглубоком бассейне накапливаются отложения монгольской свиты.

Долгая и сложная история позднего протерозоя завершается складчатостью и региональным метаморфизмом отложений, причем в дислокации вовлекаются и структуры нижнего протерозоя. В краевых частях последних проходит перестройка тектонического плана, а также, по-видимому, возрастает степень метаморфизма город по алмазослитовой фации. С концом позднего протерозоя многие исследователи связывают ультраметаморфизм и образование гранитоидов мемско-оронского комплекса. По нашему мнению, эти процессы следуют связывать с каледонским временем, о чём свидетельствует многочисленные определения абсолютного возраста, выработанные пайдами 280–370 млн. лет.

Конечные этапы тектонической активизации относятся к палеозою, охватывающему весь период каледонского дистрофизма. В это время в южной части площа и далее на восток существовала область с субгоризонтальным режимом. В локальных бассейнах шло интенсивное прогибание и накопление трансгрессивной серии осадков морского типа. В результате заключительных фаз каледонской активизации, сопровождавшейся на юго-востоке мощными гравитационными интрузиями, в северо-западной части района породы нижнего – верхнего протерозоя повернуты глубоким метаморфизическим преобразованием (ультраметаморфизм). Зоны ультраметаморфизма имеют четкие линейные очертания и, очевидно, связаны с глубинными разломами.

В мезо-хайнозойское время формируется Байкальское сводовое поднятие, в результате которого образованы наиболее крупные орогаидические структуры (Саверо-Байкальский хребет, Сынинский хребет и др.). В современную эпоху движения продолжаются, о чём свидетельствует наличие участков с различной энергией рельфа и возникновение Токиндинской и Левомамской неотектонических впадин, заполненных мощной толщей четвертичных отложений.

ГЕОМОРФОЛОГИЯ

В соответствии со схемой геоморфологического районирования территории листа относится к Саяно-Байкальской горной области, к району Байкало-Патомского нагорья. Господствующим морфологическим типом является среднегорный эрозионно-денудационный рельеф с сопутствующими аккумулятивными формами. Современный рельеф создан совместным действием эрозионно-денудационных и водноаккумулятивных процессов при ведущей и направляющей роли тектонических движений. Значительный отпечаток наложили также эпохи оледенения, литология субстрата и геологическая структура, процессы солифлюкции и термокарста и меньше карстовые явления.

Расчленение рельефа по возрасту соответствует единой для Байкало-Патомского нагорья схеме А.Г.Золотарева /9/. В истории его формирования выделены два крупных этапа, подразделенных на природы. С разной степенью сохранности в современном рельфе отражены четыре эпохи оледенения.

Мезозойско-палеогеновые поверхности выравнивания (рельеф первого пика первого этапа) сохранились в виде разобщенных участков с абсолютной высотой выше 1200–1300 м (рис. 3). В пеплом их уровень повышается к югу, относительные перепады высот достигают 200 м. В настоящее время эти поверхности значительно нарушены процессами тальвой плагиации.

Шире распространён рельеф второго цикла первого этапа неоген-раннелетвертичного возраста. Он представлен водораздельными, склоновыми высотами до 1200 м и террасовидными поверхностями относительной высотой 200–250 м. Последние расчленяются в долинах крупных рек нижними течениями притоков. Ширина террасовых поверхностей по рекам Лев. Маме и Бол. Чуя достигает 500 м. Кое-где они перекрыты остатками меломанского (до 1 м.) аллювия в нарушенном залегании.

Первый этап завершился оледенением, сопоставляемым по возрасту с кунинским оледенением Байкало-Патомского нагорья, о чём свидетельствуют отдельные скопления эрратических валунов на склонах водоразделов.

Второй этап зорионно-деградационной деятельности охватывает среднечетвертичное - современное время. Выделяются три зорионно-аккумулятивных цикла, каждый из них завершился эпохой оледенения.

Рельеф первого цикла, соответствующий среднечетвертичному времени, погружен под мощной толщей ледниковых образований. Он представлен древними тальвегами и террасами, изредка вскрывающимися современными русалами. Аккумулятивная терраса высотой 10 и 25 м (над соузеем р. Неруды). Погребенные террасы высотой 10 и 25 м (над современным уровнем русла) по р. Маме в районе приставки Монжан и по р. Орколикан золотоносны. Ширина погребенных террасовых площадок достигает 120 м, мощность аллювия - 12 м. Ниже течения древней долины р. Токинды ниже захоронено ледником, а современное русло протекает по эрозионному отрезку со скальным бортом без разработанных террас, который расположен севернее предполагаемого древнего русла. В Патомском нагорье первый цикл завершился накатанным оледенением. В пределах района формы рельефа этого оледенения не сохранились.

Следующий цикл развития соответствует первой половине позднечетвертичного времени и совпадает с эпохой межледниковых.

Формы рельефа представлены зорионными террасами высотой 100-150 м, распространенными в районе слияния рек Лев.Мамы, Прав.Мамы и Монжана. Ширина террас достигает 1,5 км, поверхность их полого наклонна ($10\text{--}12^{\circ}$) и частично расчленена. Изредка на поверхности этих террас встречаются "пята" маломощного (до 1 м) аллювиального покрова.

Начало второй половины позднечетвертичного времени ознаменовано мощным горно-долинным оледенением, которое сопоставляется с патомским. Троговые долины, нарушенные цирки и кары, карланты и седловины перетекания свойственны долинам рек, берущих начало в Северо-Байкальском и Сынинском хребтах. Широко распространены формы ледниковой аккумуляции. Преобладают аккумулятивные ували высотой до 80 м, сложенные покровами морен, которые в значительной мере ныне смешаны с делювием. Особенно эффективны аккумулятивные формы в районах слияния рек Лев.Мамы и Монжана, Бол.Углоката и Токинды. Здесь выражаются холмистые

ландшафты основных и ложных морен с валами конечных морен, ували с друмлинистым микрорельефом, занятыми камами и инверсионными конусами. Эпоха патомского оледенения сыграла свою положительную роль в консервации погребенного аллювия. Экзарационная сила льда в нижних частях долин была, по-видимому, слабой, что

1 - останцовый голльзовский рельеф (абс. отм. 1200-1900 м);
 2 - склоны и водоразделы (абс. отм. 1200-1500 м); 3 - террасо-
 вильная поверхность (отм. выс. 200-250 м) с остатками древнего
 аллювия и ледниковых валунов; 4 - террасо-ливальная поверхность
 (отм. выс. 100-150 м) с остатками древнего аллювия; 5 - плохо
 сохранившиеся цирки; 6 - плавничный рельеф; 7 - аккумулятивные ува-
 лы; 8 - холмисто-грядово-ванновый рельеф; 9 - террасовые поверх-
 ности водно-ледникового происхождения; 10 - кары; 11 - троги; 12 -
 конечные морены; 13 - комплекс надпойменных террас
 высотой до 15 м; 14 - нестеканические депрессии; А - Токин-
 динская, Б - Левомамская; 15 - участки долин с погребенным
 древним аллювием, потенциально перспективные для поисков россы-
 пей золота; 16 - участки долин с предполагаемым погребенным
 россыпей золота; 17 - известные россыпи золота

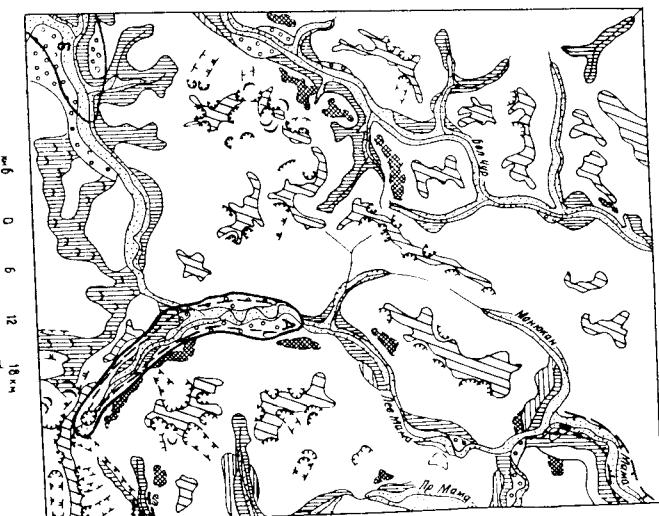


Рис.3. Геоморфологическая схема

способствовало захоронению золотоносных отложений (Монгольская и Орконганская россыпи, потенциально золотоносный отрезок до-

При формировании рельефа продолжается с конца поздне-четвертичного времени и продолжается до сих пор. Формируется надпойменные аккумулятивные, реже эрозионные террасы высотой от 2-3 до 10 м с промежуточными уровнями. Ширина комплекса террас достигает по р. Маме 2 км. Долины боковых притоков в нижних течениях имеют V-образный поперечный профиль, неравноданние поймы.

В это же время в хребтах Синбир и Северо-Байкальском формируется рельеф четвертичного оледенения. Он представлен карьми и короткими проглатами, вложенными в цирки третьего оледенения. Отмечаются озерные ванны, ригели, холмистые ландшафты основных и лонных морен, боковые и конечные морены. В морены врезаны русла рек и вложены низкие (5 м) надпойменные террасы, а военно-ледниковые отложения (зандры) спадают с вливом высоких (10-15 м) надпойменных террас.

ПОЛЕЗНЫЕ ИСКОПАЕМЫЕ

Неотектомические динаморедицильные ~~доминанты~~
периода отражены в молодых депрессиях – Токмакинском и Левомам-
ском грабенах. Рельеф в пределах этих структур отличается мень-
шей активностью, преобладает аккумуляция, которая приводит к
выработке лопий с широкими задолоченными гойями, мешковидным
рисунком русел.

В исследованном районе обнаружены притяжения рудного золота (а также золотоносные россыпи), цветных, редких металлов и редких земель. Нерудное сырье представлено слюдой, апатитом и карабинами породами.

Следа и никель приурочены к поздногеологическим отложениям. Накопление золота, железа и меди, тантал-ниобиевая, редкоземельная минерализация, проявление асцитита и флогопита связаны с метаморфизмом раннего палеозоя. С раннекембрийской седиментацией связаны месторождения известняков и доломитов. Российские месторождения золота приурочены к аллювиальным осадкам среднечетвертичного времени.

Золоторудные проявления локализуются только в северной половине территории листа, обнаруживая постоянную связь с кислыми плутонитами Конкудеро-Мамаканского интрузивного комплекса.

МЕТАЛЛИЧЕСКИЕ ИСКОПАЕМЫЕ

Железо

Среди группы черных металлов известно одно проявление магнетитовых руд. П р о в л е н и е О л е н ъ е (ГУ-14) находится в бассейне р. Срел. Амуданакан, где в поле развиты вулканических отложений синьцской свиты найдены глыбы магнетитовых руд размером до 25-30 см. Руды массивные, иногда полосчатые, слабо окисленные. Содержание магнетита в них до 90%. Глыбы магнетитовых руд сопровождаются свалами скарновидов. Рудоизъятие неизвестно. Вероятно, относится к перспективному метасоматическому Олене, вероятно, относится к перспективному метасоматическому типу и представляет интерес для дальнейших поисков.

Ме^ш

А м н у л а к а н с к о е п р о я в л е н и е (Г-1-1) расположено в верховье р.Сред.Амуджакан и приурочено к южно-саянскому комплексу. Продолговая и мелкая рассеянная вкрапленности гипергенных минералов, главным образом малахита, титано-кварца и светло-серого кварца. Спектральный анализ показывает, что в супеси кремнистых обломков присутствуют 1-3% меди и 0,02% цинка. Шамановское проявление (Г-2-4) отличается от предыдущего тем, что оно расположено на склоне долины р.Шаман (правый приток р.Бол.Чуя),

Повышенная никеленосность наблюдается главным образом в ультраосновных породах дольменного и частично в габброидах муского комплексов. Редкоземельная, тантал-ниобиевая и апатитовая минерализация концентрируется в южной части территории только в связанных со щелочными породами синклинального интрузивного комплекса.

на высоте 942,8 м, где в пелевиалью-элювиальных развалих отмечены карбонатизированные метагнейзы синирской свиты с медной минерализацией. Минералы слагают отдельные вкрапленники и агрегатные скопления, представленные только вторичными окисленными разновидностями: халькоzinом, бериллом, ковеллитом и магнитом; редкие изолированные гнезла образованы мелкочешуйчатым гематитом. Содержание меди, по спектральному анализу, не повышается более 0,06%. Оба проявления меди рекомендованы к последующей проверке.

Свинец

Редкие шлиховые пробы с единичными знаками галенита обнаружены в низовых р.Лев.Мамы. Кристаллы галенита некатанные и полукатаные размером до 1,0-1,5 мм. Там, где галенит ассоциирует с баритом и киноварью, его происхождение связывается с разрывом кварц-карбонатных жил, застягивших в доломитах моноклинской свиты. Если галенит находится в шлихах в парагенезисе с золотом, то он может быть связан с лезинтетрацией кварцево-сульфидных золоторудных жил. Поэтому находки галенита неены в поисковом отношении.

Никель

С е л и в е р с т о в с к о е п р о я в л е н и е

(П-3-7) находится на левобережье р.Лев.Мамы, в 5 км ниже устья р.Ушукан. Сульфидная минерализация локализуется в зоне пробле-ния с параметрами 4 x 30-40 м в габбро-диабазах муйского комплекса и представлена прожилково-вкрапленным пиритом, халь-контиром и шаритом. В пробах, богатых сульфидами, спектроско-пически улавливаются никель и кобальт до 0,01%, медь до 0,06%, хром и цинк - 0,03%. Амфиболизированное габро с этого участка содержит только тончайшие доли пропелта перечисленных элементов. Берильянскому проявлению высоты с отм. 1192 м. приурочено на левобережье р.Лев.Мамы вблизи высоты с отм. 1192 м. Сульфидно-никелевое оруденение приурочено к габбро-диабазам и дайке габбро-дегматитов. В габбро-диабазах обнаружена повышенная рассеянная или густая кустовая вкрапленность: прожилки и шлировые обособления типичны для габбро-пегматитов. В парагенезисе с пиритом, пирротином и халькопиритом находится магнетит, ильменит и гематит. Никель выщелчен в бравоите, образующий

сплошки с пиротитом. По данным химического анализа в меньшей части проб содержание никеля достигает 0,01-0,03%, кобальта - 0,01%, меди - 0,01-0,06%, преобладающие содержания полезных компонентов - тысячные доли пропелта.

У к у ч и к т и н с к о е п р о я в л е н и е (ПУ-4-4) находится на водоразделе рек Укучики - Ороклиана и приурочено к серпентинизированным перidotитовым дифференциатам массива габбройдов. Продуктивная зона имеет протяженность 1200-1500 м при ширине с поверхности 50-60 м. Среди прочих сульфидных минералов фиксируется пентландит. Максимальные содержания никеля в пределах продуктивной зоны составляют 1 и 0,3%. Средние содержа-ния (%) никеля по габбройзам - 0,3 и 0,6, кобальта - 0,02, меди - 0,001, хрома - 0,07, титана - 0,06 и ванадия - 0,008.

В о л о р а з д е л ь н о е п р о я в л е н и е (ПУ-4-3) расположено вблизи Укучикинского в пределах того же массива основных пород. Серпентинизированные пироксениты, несущие сульфидное оруденение на водораздельном проявлении, отличают более низкое содержание полезных компонентов (в %): никеля - 0,3, кобальта - 0,01, меди - 0,001, хрома - 0,04, титана - 0,6 и ванадия - 0,003.

Рудообразования Бериканское и Селиверстовское, связанные с основной интрузией муйского интрузивного комплекса, не представляют поискового интереса, а Укучикинское и Водораздельное проявления, залегающие в пределах массива основных и ультраосновных пород Довыренского комплекса, перспективны на никель.

Р е д к и е м е т а л л и

Молибден

И к т р о у д е к с к о е п р о я в л е н и е (Ш-4-4) открыто в верховые одиночного ручья (правого притока р.Лев.Мамы). Молибденит вместе с шаритом концентрируется в трещиноватых разновидностях конкулеро-макманских гранитов или в залывных кварцевых прожилках. Иногда молибденитовая минерализация сопровождается слабой фторитизацией и альбитизацией. В кварцевых прожилках наиболее высокие значения молибдена достигают 0,058%, в грейзенизированных разностях гранитов - от 0,005 до 0,01%. В ряде проб вместе с молибденом спектроскопически улавливаются барий - 0,1%, титан - 0,6%, бериллий - 0,0008% и лантан - 0,01%.

В шликах из верховьев рек Иктурудук, Даюша и др., зернистых водораздел Лев. и Прав.Мамы, изредка обнаруживаются зерна молибдита, находки которых, вероятно, связаны с разрывом измененных конкудеро-мамаканских гранитов. Практического значения молибденовые проявления не имеют.

Большрам

Шеелит выявлен только в аллювиальных отложениях рек Тукульха и Богоцкты (левый приток р.Бол.Чы). Концентрация его в шликах от зерновых до весовых количеств ($15\text{--}20 \text{ г/м}^3$). Шеелит генетически связан с гранитами мамако-оронского интрузивного комплекса, так как встречается в кварцевых жилах среди терригенных пород и в скарновых в экзоконтактовых зонах этих интрузий.

Бериллий

Южное приоязлие (Ш4-2) находится в истоках р.Даюши. Бериллий локализуется в кварцевых жилах, в грейзенизированных участках и в зонах рассланцевания среди гранитов конкудеро-мамаканского комплекса. В кварцевых жилах он образует крупные кристаллы голубовато-зеленого и желтого цветов. Максимальное содержание бериллия в жилах достигает 0,87% (бортовые пробы). В грейзенах наряду с бериллом есть кварц, мусковит, флюорит, молибдит, гематит, пирит. Среднее содержание BeO в кварцевых жилах $0,001\text{--}0,004\%$. В зонах рассланцевания в порфиробластических гранитах бериллий срастается с мекрелином, среднее содержание бериллия здесь составляет 0,04%, а в моногранитах миокайнин - $0,008\text{--}0,003\%$.

По результатам геологоминеральных работ это рудопроявление получило отрицательную оценку.

Тантал-ниобий

Висмут

Поязлие Малый Углокит (ГУ-2-5) находится на водоразделе р.Лев.Мамы и руч.Мал.Углокит, в долинах высоты с отм.1529 м. Район рудопроявления сложен нефелиновыми сенитами, прорваными карбонатными отложениями кохоктинской свиты, превращение в зоне акзоконтакта в скарны. Тело скарнов протягивается на 50-200 м и имеет мощность 5-20 м. Скарны сложены основные, преобладают драпидовые, флюорит-форстеритовые и фор-

стерит-кальцитовые разновидности. С первым из них связано тантал-ниобиевое и ториевое оруднение. Химический анализ двух проб показал содержание $\text{Tn} = 0,03\text{--}1,62\%$, $\text{Nb}_{2\text{O}_5} = 0,012\text{--}0,043\%$, $\text{Ta}_{2\text{O}_5} = 0,005\%$. Ториенность обусловлена мелковкрайним тантал-ниобиевым в дюпсил-флюоритовом участке скарна. Тантал-ниобий в радиоактивной минерализации генетически связывается с кварцевыми сенитами. В скарнах спектральным анализом установлены следующие концентрации элементов: $\text{Ce} = 0,1\text{--}0,03\%$, $\text{La} = 0,01\text{--}0,02\%$, $\text{Y} = 0,01\%$, $\text{UO}_2 = 0,04\%$. Рудопроявление Малый Углокит рекомендуется к дальнейшей проверке.

Шлиховой ореол (Ш4-1) тантало-ниобиевого минерала - эвксинита охватывает бассейн р.Даюши. Форма ореола овальная, вытянута по долине р.Даюши, площадь его около 12 км². Всего выяснено найден в 154 шликах, из них в 60 в весовых количествах (средние $3\text{--}5 \text{ г/м}^3$, максимальные до 24 г/м^3). Для механических ореола (Ш-2-3), (ГУ-1-3) тантало-ниобиев открыты в отложениях р.Ушумна и соседнем безымянном левом притоке р.Лев.Мамы. Минерал в шлихах имеет удлиненную и призматическую форму зерен, окраинные и полукраинные зерна обладают черной и бурой окраской.

Источником тантало-ниобиев является албитизированное сениты, контакто-метасоматические зоны, контролируемые шелочными породами, и нефелин-сиенитовые легматиты.

Шлиховые ореолы и отдельные разобщенные шлихи с тантало-ниобиевыми минералами постоянно обнаруживают пространственную связь с Сыннурским массивом шелочных пород.

Руть

Бычий чешуйчатые знаки киновари обнаружены всего в шести шликах, отобранных по рекам Маме, Прав.Маме и их левым притокам.

Редкие знаки киновари фиксируются в аллювиальных наносах на прииске Монжакан, где в шотике вскрывались монжаканские доломиты. Практическость и поисковое значение остальных шлихов склоноварь остались невыясненными.

Висмут

Минералы висмутин и реже дисмутин обнаружены в русловых отложений рек Монжакана, Ушумана и ручьев, прорывающих район Южного бериллиевого рудопроявления (Даюша и др.). Висмутин в шликах ассоциирует с торитом, сфееном, пироконом, эвксинитом и золотом, а иногда с молибденитом. Парагенезис висмута с золотом

подтверждается спектральным и пробирным анализами; при содержании Au - 0,1 г/т выступа улавливается - 0,0006%, поэтому находки висмутовых минералов интересны в связи с поисками золота.

Редкие земли

К е р о в о е п р о я в л е н и е (ГУ-1-2) расположено в верховых р.Сред.Амуданкан в красной части Сындырского массива небельиновых сиенитов. Практический интерес представляет юльные нерелин-сиенитовые пегматиты, измененные постмагматическими процессами до метасоматитов с высоким содержанием полезных компонентов. Оруденелая зона состоит из 12 тел метасоматитов, размещение которых контролируется тектоническими разрывами северо-восточного направления. Длина тел метасоматитов десятки и первые сотни метров при средней мощности 0,8 м, простирание их северо-восточное 35-60°, падение кривое юго-восточное 50-85°.

По составу различаются небельиновые пегматитовые альбитизированные пегматиты, эгирий-микроклиновые и эгирий-микроклий-альбитизированные пегматиты. Минеральный состав метасоматитов: альбит, калишпат, нефелин, эгирий, циркон (1-2%); редки содалит, флюорит (1-2%), галенит (до 1%), магнетит (до 3-5%), пироксит (до 1%). Электральный анализ показал следующие средние концентрации элементов (в %): Zr - 0,7, Nb - 1,5, Ce - 0,3, La - 0,14, Y - 0,108, Ta - 0,12, Pb - 0,178. Химическим анализом подтверждено наличие $Nb_{2}O_5$ - 1,45%, $Ta_{2}O_5 < 0,005$, U - 0,014, Th - 0,003.

Рудопроявление перспективно на поиски редких земель, циркона, ниобия и радиоактивных элементов.

В и с о т н о е п р о я в л е н и е (ГУ-2-1) находится на левобережье р.Лев.Мамы, 7 км выше устья р.Ушум. Рудопроявление склонизированное сиениты. Цирконсодержание анальцимовые сиениты слагают изометрическое тело площадью 70 х 100 м². Среднее содержание циркона в сиенитах 2-3%, в обогащенных участках - до 8-10%. Сиениты с цирконом по данным спектроскопии характеризуются следующими концентрациями элементов: цирконий - 0,6%, лантан - 0,05%, церий - 0,06%, иттрий - 0,025%.

Столбы редких земель, определенная химическим анализом, равна 0,15-0,16%. Содержание оксида циркона составляет 0,62%. Несмотря на высокое содержание циркона, рудопроявление из-за малого размера рудного тела не имеет промышленного значения.

Д л и н о е п р о я в л е н и е (ГУ-1-5) обнаружено на левобережье р.Сред.Амуданкан. Район рудопроявления сложен терригеническими и карбонатными породами холдингской свиты, интрутированными небельиновыми сиенитами. В контактовом ореоле терригенные породы альбитизированы и ороговикованы, а известковистые - скарнированы. Редкие земли сосредоточены в широких и ортите и их повышенные содержания концентрируются в альбитизированных сиенитах и скарнах, торий - в альбитизированных сиенитах; ниобий - в альбитизированных песчаниках. По данным спектрального анализа определены средние содержания следующих элементов в метасоматических породах (в %): Ce - 0,02-0,01; La - 0,05-0,016; Y - 0,003-0,009; Yb - 0,001-0,01; Th - 0,215-0,03; Zr - 0,134-0,022. В альбитизированных песчаниках и сиенитах химический анализ показал концентрации Th - 0,122%, Y - 0,007%, $Nb_{2}O_5$ - 0,043%.

Рудопроявление малоперспективно из-за весьма неравномерного распределения радиоактивных элементов.

П р о я в л е н и я С у х о й К л ю ч (Ш-3-2), Т а - л и н с к о е (Ш-3-1) находятся в низовых р.Лла, в проявления С р е д н е (ГУ-2-3) - в нижнем течении р.Ниж.Амуданкан. Все три проявления размещены в скарнах, развитых в контактовых зонах щелочной интрузии с кооктическими известниками. Изменение кварцевые сиениты и скарны преимущественно иллюпсид-доломит-форстеритового состава, обогащены редкими землями и торием. Содержания этих элементов варьируют в таких пределах (в %): Ce - 0,02-0,056; Y - 0,001-0,014; Yb - 0,001-0,005; Zr - 0,003-0,3; La - 0,02-0,039; Nb - 0,004-0,014 и Th - 0,028-0,222. Все три проявления получили отрицательную оценку.

Б л а г о род н ы е м е т а л ы

Золото

К настоящему времени на территории листа известны две отработанные золотоносные россыпи, три рудных золотопроявления, ряд штоковых и геохимических ореолов рассеяния.

П р о я в л е н и е М у к а д е к (ГУ-4-2) расположено вблизи слияния рек Лев. и Прав.Мамы. Оно представлено четырьмя «рудными» зонами, залегающими среди габброидов мускового комплекса; расположение зон контролируется разрывными нарушениями широтного направления.

Первая зона прослежена на 2 км, мощность ее 20-80 м; вторая зона на 1 км при мощности 90-100 м; третья - на 1,5 км с мощностью 90 м; четвертая - прослежена на 300 м, ее мощность 35-40 м. Выявлено два типа оруденения: прожилково-кварцевый и жильный. Первый из них представляет собой густую сеть кварцевых и кварцево-карбонатных прожилков, залягающих в серпентит-хлоритовых ортосланцах. Последние включают обильную вкрапленность рудных минералов: магнетита (1%), шаменита (до 6%), пирита (до 2%), халькопирита, рутила и лимонита. В незначительных количествах в рудах присутствуют анкерит, барит, шеелит, молибдит, галенит и пирротин. Выделения золота размером от 0,01 до 0,1 м, реже - 0,2-0,6 мм, ассоциируют с пиритом, иногда образуя срастания. Жильный тип оруденения представлен мицелиями (до 6 м) кварцевыми и карбонатно-кварцевыми жилами с сульфидной (пиритовой) минерализацией. Для прожилково-вкрашенных руд максимальное содержание золота достигает 27,4 г/т, среднее - равно 5,9-9,4 г/т. Для жильного типа оруденения концентрации золота в жилах составляют 5,6-7,4 г/т (бороздовые пробы). Золото связано с пиритом, в котором содержание золота весьма высокое - до 148 г/т. Можно полагать, что данные опробования поверхностных выработок, проходивших на проявлении, вероятно, занижены. Рудо-проявление Мужалек имеет промышленную ценность.

Правомамское проявление (I-4-3) находится на северо-восточном продолжении структуры Мужалекского рудного поля на правобережье р.Прав.Мамы, волнили ее устья. Проявление представляет собой серию сближенных мелких рудных зон субширотного простирания. Длина зон колеблется от 100 до 350 м при мощности до 50 м. В пределах зон хлоритовые ортосланцы окваркованы, албитизированы, пиритизированы и бурошпатизированы. Выявлено два типа оруденения, аналогичных для проявления Мужалек. Содержание золота в рудных зонах и жилах низкое, редко достигает 1 г/т. Правомамское проявление промышленности ценности не имеет.

Дальнее проявление (II-2-1) находится на правобережье р.Далы, правого притока р.Бол.Чуи. Среди углистых сланцев и песчаников монгансской свиты картируется тектоническая зона, к которой приурочены даики сиенит-порфироз, несущих галенит-пиритовую минерализацию. Золото с содержанием от 0,003 до 0,03 г/т выявлено во вмещающих породах и особенно в пиритизированных сланцах. В бассейне р.Далы установлен шахтный ореол золота (II-2-2), который частично совпадает с геоконтактеским ореолом золота (II-2-3).

В шликах золото слабоокатанное, размеры золот от 0,01-0,2 до 1,0-1,5 мм, постоянно ассоциируют с пиритом. Потоки рассеяния с повышенной концентрацией золота (до 0,6 г/т) характерны для верховьев р.Далы.

Несколько рудопроявлений золота (П-3-6) размещены на склонах хр. Сынчыр, в верховых р. Неруды. Все они характеризуют слабую золотоносность зон рассланцевания в габброидах и гнейсо-гравитах Мийского комплекса или кварцевых жил среди пород монократской свиты. Спектрологометрический анализ показывает в них содержание золота от 0,01 до 1,0 г/т.

В шлиховом ореоле золота (П-3-1), охватывающем бассейны рек Неруды и Монжана, в их верхних течениях выделяются мелкие неокатанные зерна золота, в среднем течении — они более крупные, слабоокатанные, размером 0,04—0,3 мм, число зерен в шлихах достигает 7-12; в низовых отмечаются единичные зерна окатанные, то золота размером 0,1-0,2 мм.

П р о с т о р н о е п р о я в л е н и е (П-4-4) находится

В Южной части зоны рассланцевания и гидротермальной переработки в амфиболизированном габброриолите обнаружены гранаты с содержанием рудопроявления подобны проявлениям Мужаков. Средние содержания золота в штучных пробах - 0,03 и 1,1 г/т. Это рудопроявление заслуживает дальнейшего изучения.

Семеновское проявление (Ш-4-3) расположено на водоразделе рек Лев. и Прав. Мамы, в 5 км выше ис- положено на водоразделе рек Лев. и Прав. Мамы, в 5 км выше ис- токов р.Даокин. Единичные штучные пробы из кварцевых жил, зате- гавших среди песчаников холоднинской свиты, показали содержания золота 0,3 г/т. Значение этого проявления не выяснено.

Матанское местоождение россыпь

МОНДАСЬКОГО золота (I-4-1) находится на правобережье р.Мамы, в 10 км ниже слияния рек Прав. и Лев.Мамы. Промышленная россыпь расположена на 10-метровой эрозионно-аккумулятивной террасе. Длина россыпи 120 м, ширина 65 м. Золотосодержащим является приплотинный аллювий и аллювий плотика. При эксплуатации было выделено 10 участков, в том числе сопоставимые по содержанию золота.

Д а л и н с к о е п р о я в л е н и е (П-2-1) находят-
ся на правобережье р.Далы, правого притока р.Бог.Чи. Среди уг-
листых сланцев и песчаников монгольской свиты картируется тек-
тоническая зона, к которой приурочены дайки сиенит-порфироз,
несущих галенит-пиритовую минерализацию. Золото с содержанием
от 0,003 до 0,03 г/т выявлено во вмещающих породах и особенно
в шприцированных сланцах. В бассейне р.Далы установлен шах-
тный ореол золота (П-2-2), который частично совпадает с геокими-
ческим ореолом золота (П-2-3).

золота. Подсчитанные запасы по кат. С1 - 185 кг/т. До 1950 г. было добыто 43 кг. Дальнейшая добыча золота перенеслась.

Штиховые орудия золота (ГУ-3-1 и ГУ-4-1) доссейнов рек Орколикана и Токиди связывались с разрывом золоторудных зон, которые, вероятно, способствовали в благоприятных условиях образование промышленной россыпи р.Орколикана.

НЕМЕТАЛЛИЧЕСКИЕ ИСКОПАЕМЫЕ

Апатит

Три апатиторудения обнаружены и изучены в пределах щелочной интрузии синекского интрузивного комплекса.

В и с о к о е п р о я з л е н и е (П-2-1) расположается в верховых р.Тала. В дигитах и либенеритизированных нефелиновых сиенитах выделены зоны мономинеральных гнездово-прожилковых выделений апатита и дайколоводные тела пироксен-биотит-апатитового состава. Мощность тел 5-6 м, обычно они имеют зональное строение. Руды состоят из апатита (30-70%), биотита, агирина, калиевого полевого шпата и аксессорных минералов. Апатит образует **мелкие** (1,0-1,5 мм) зерна. В нем спектральным анализом установлены следующие содержания элементов-примесей: La - 0,3-1%, Ce - 1%, Y - 0,01%, Sr - 0,3%. В пироксен-биотит-апатитовой породе содержание пятиокиси фосфора в пироксен-биотит-апатитовой городе колеблется от 6,74 до 24,57%, а среднее - 17,21%. В прожилково-прожилковом апатитовом дигите это содержание составляет 12,08%. В окрестностях проявления обнаружены делительные свалы апатитовых руд с содержанием P_2O_5 - от 7-10 до 18,43-21,87%.

В районе этого проявления возможны находки промышленно ценных апатитоносных тел.

У п и ч ск о е п р о я з л е н и е (ГУ-2-2) расположено в нижнем р.Ушунка (левый приток р.Лев.Мамы). Апатитом обогащены дигиты, нефелиновые сиениты микролегматитовой структуры, а также содалитизированные и либенеритизированные нефелиновые сиениты, в которых этот минерал слагает гнездово-прожилковые выделения. В обогащенных образцах концентрация P_2O_5 достигает 7,72%. Это проявление малоперспективно.

В е р х и е п р о я з л е н и е (П-2-2) находится в верховье р.Ушунка. Апатит в повышенных количествах (30-40%) отмечен в составе шонкинитов, окружных нефелиновых сиенитов. Всего

на севере территории листа известны два проявления мусковита.

И л ь г и д и к ск о е п р о я з л е н и е (I-I-I) расположено в истоках р.Ильгидика, левого притока р.Бол.Чуя, в южной части крупного петматитового тела. Круглогладкое тело застелает среди пачки кристаллических сланцев с прослоями извешников и двуслюдянных гнейсов. Наиболее насыщена мусковитом центральная часть жилы, где содержание сильвина колеблется от 8,3 до 28,2 кг/м³. Ослаждение контролируется зоной развития квард-мусковитового замещающего комплекса мощностью около 1 м, прояженного по простиранию на 100 м.

Мусковит образует кристаллы пластинчатого и ельччатого строения площадью около 120x20 мм при толщине до 50-70 м. Сростки с кварцем и биотитом, а также микротрешиноватость существенно ухудшают качество мусковита. Балансовый показатель осложнен по проявлению значительно ниже прошлого - 6,3 кг/м³.

А л о к м о ч ск о е п р о я з л е н и е (I-3-1) находится в вершине р.Лев.Алокмочака (правый приток р.Бол.Чуя). Крупнозернистые петматиты несут неравномерное ослаждение: средние блоковые выделения калиевого полевого шпата и кварца развиды редкие гнездовые обособления мусковита. Размер пластинок сиды изменяется от 40x50 до 100x150 мм при толщине их в 20-50 мм. Мусковит пластинчатый, в нем нередки срастания с кварцем. Эти находки мусковита указывают на вероятную односторонность крупного петматитового тела, раковую частью которого является Алокмочакское проявление.

Слюдя-диабазит

Район п р о я з л е н и я М а л ы й У т д о к и т (ГУ-2-4) сложен скарнами, развитыми в экзоконтактовой зоне нефелиновых сиенитов с карбонатными породами. Скарны сложнозональны, по составу преобладают диопсид-диабазитовые и диабазит-фор-

мации две датки шонкинитов мощностью 1 и 1,5 м. Во вмещающих породах апатит является только аксессорным минералом. Значение этого проявления неясно, так как аналитических данных по фосфору нет.

Слюдя-мусковит

ПОДЗЕМНЫЕ ВОДЫ

стертые разновидности. Скары, обогащенные флогопитом, со-
держат до 40–50% слюды в виде мелкочешуйчатого агрегата и псев-
дотекстуральных кристаллов с размерами пластинок 6–10 см.²

Следа корродирована карбонатом и обнаруживает ельчатое строение.
Максимальные содержания флогопита до 400–500 кг/м³. Из-за малых
запасов проявление практического интереса не представляет.

СТРОИТЕЛЬНЫЕ МАТЕРИАЛЫ

Карбонатные породы

Известняки

Месторождение известняков (ГУ-2-7) находится на левобере-
жье р.Мал.Улукокит в карбонатных отложениях Кооктинской свиты.

Мощность свиты здесь около 1500 м, ширина выхода 2 км при про-
тяженности 7–8 км. Известники тонкозернистые, иногда пелитоморф-
ные массивной или сплошной текстуры.

Средний химический состав известняков (в %): CaO – 51,85,
MgO – 2,74, SiO₂ – 3,68, Al₂O₃ – 0,40, Fe₂O₃ – 0,28, MnO – 0,01,
P₂O₅ – 0,005, S_O₃ – 0,03, H₂O – не обн., п.п.п. – 40,36.

Запасы и область применения этих известняков в настоящее
время трудно определить из-за недостаточного опробования.

Доломиты

Абакинское месторождение

(ГУ-2-6) расположено в среднем течении р.Мал.Улукокита. Доломи-
ты находятся в разрезе Кооктинской свиты и переслаиваются с из-
вестниками, макроскопически не отличаясь от последних. Парамет-
ры месторождения не уточнены. Химический состав по четырем про-
бам следующий (в %): MgO – 22,75, CaO – 31,27, SiO₂ – 1,84,
Al₂O₃ – 0,15, Fe₂O₃ – 0,28, MnO – 0,01, P₂O₅ – 0,005, S_O₃ –
0,01, влага – 0,03, п.п.п. – 44,38.

Доломиты, вероятно, могут использоваться в качестве флюсо-
вого и отвеупорного сырья, если дополнительное опробование под-
твердит качество сырья.

На территории листа выделяются две группы подземных вод:
грунтовые, трещинные и трещинно-пластовые воды, приуроченные к
определенным комплексам пород. Основным источником питания яв-
ляются атмосферные осадки и поверхностные водотоки. Поэтому
водообильность непостоянна и максимальна в периоды снеготаяния
и сильных летних дождей. Циркуляция вод значительно осложняет-
ся многолетней мерзлотой. Острый характер мерзлоты ограничи-
вает распространение напоризменных вод, поэтому наиболее раз-
виты подземные воды. Все типы вод пригодны для водоснабже-
ния населенных пунктов.

Грунтовые воды четвертичных отложений отно-
сятся к порово-пластовому типу и залегают в аллювиальных и лед-
никовых отложениях долин. Характерны линзовидные формы залежей
с небольшой и непостоянной мощностью. Глубина залегания не свы-
ше 10 м. При выходе водоносных горизонтов на поверхность возни-
кают задолоченные участки, которые особенно характерны для по-
нижения частей низких надпойменных террас рек Большой Чуи, Лев. Ма-
мы, Прав. Мамы, Токтана, верховьев долин Мотижана, Иктурулека и
др. Водоносность деятельности непостоянна, зависит от обилия атмо-
сферных осадков и состояния снегового покрова. Выходы источников
грунтовых вод часто встречаются в поколах террас. Температура
вод (5–10) °С,debit источников достигает 20 л/мин. По составу
вод пресные гидрокарбонатно-хлоридные и натриево-кальциевые с
минерализацией до 0,030 г/л. Солевой состав их выражен форму-
лой (в мг/л):

$$\begin{array}{c} \text{M}_\text{O}, 0,024 \quad \text{HCO}_3 \text{66 Cl} 34 \\ \text{Ca}23 (\text{Na+K}) 77 \end{array}$$

Трещинные воды метаморфических, эйхузитовых и изверженных
образований распространены наиболее широко. Циркуляция вод это-
го типа обусловлена развитой сетью тектонической трещиноватости
и трещин выветривания. Источники нисходящие, безнапорные. Вы-
ходы их наблюдались в долинах притоков рек Укугакта, Ушумжана.
Дебят источников не превышает 5 л/с, температура вод (5–7) °С.
По составу воды гидрокарбонатно-хлоридные и натриево-кальциево-
магниевые. Солевой состав определяется по формуле (в мг/л):

$$\begin{array}{c} \text{M}_\text{O}, 0,020 \quad \text{HCO}_3 \text{75 Cl} 25 \\ \text{Ca}25 \text{ Mg}25 (\text{Na+K}) 50 \end{array}$$

Трещины - пластины волни осадочных отложений распространены в пределах выходов пород верхнего про- розоя и нижнего кембрия. Коллекторами вод служат песчаники, гравелиты, реже конгломераты, водупорными горизонтами - пласти сланцев. Источники трещинно-пластовых вод отмечались по левобережью р.Орколикана, по бортам долин рек Лев.Мамы и Монжана.

Лебит источников не превышает 0,5-1 л/с. Малочисленность выходов обусловлена широким развитием чехла грубообломочных об- разований и мощного мохового покрова.

Трещины - карстоевые доли пользуются ограниченным распространением в карбонатных породах верхнего протерозоя и нижнего кембрия. В целом процессы карстования ут- нетены из-за широкого развития многолетней мерзлоты, поэтому редко встречаются карстовые формы рельефа и соответственно ред- ки выходы источников вод этого типа. Несколько, беззапорные источники с невысоким (до 1,5 л/с) лебитом отмечены по правобережью р.Монжана, по бортам долины р.Бол.Чуи, по междуречью Токинды и Иктруудека. По составу воды пресные, гидрокарбонатные кальциево-натриевые, рН = 6,6.

ОЦЕНКА ПЕРСПЕКТИВ РАЙОНА

На территории района проведены различных видов почек мас- штаба 1:50 000, включая глихальное и геохимическое опробование. Все эти данные были собраны и обобщены на протиностно-металлоге- нитической карте масштаба 1:500 000, составленной С.М.Ткаличем и С.И.Друтовым /37/.

В северо-западной части площади проходит Мамский сланчевой пояс. Перспективность ее на склону - мусковит никса, так как эта часть пояса находится в области перехода от сланчевых к кера- мическим пегматитам. Граница между ними проходит вдоль западной границы листа и определяется изоградой силиманита. На террито- рии листа возможно обнаружение мелких следовосных жил, пригод- ных для старательской добычи.

К юго-востоку от сланчевого пояса находятся Мамско-Чуйский кварцевый пояс и джаккарский рудный район /37/, охватывающий по- лосу вдоль р.Бол.Чуи и распространяется в район слияния рек Лев. и Прав.Мамы. В пределах кварцевого пояса возможны находки кварц-каранитовых жил с низкими содержаниями золота, которые ввиду удаленности и несвоевременности территории не представляют практического интереса. Гораздо более важным является район слияния рек Лев. и Прав.Мамы, где обнаружены Мукаджское прояв-

ление с промышленным содержанием золота и россыпное месторожде- ние вблизи присыска Монжана. Мукаджское проявление генетически связано с гранитоидами конкудеро-мамаканского комплекса; рудоносные растворы использовали в качестве рудолокализующих зон древние и подновленные разломы.

Это проявление заслуживает постановки дальнейших поисково-оценочных работ для выявления месторождений золото-кварцевой формации.

Золотоносность долины р.Мамы известна давно, в свое время здесь работали присыки Монжана и Орколикан. Долина является перспективной на всем протяжении с севера на юг. Однако поиски в значительной мере затруднены большой мощностью ледниковых на-носов. Поэтому наиболее эффективным методом должно стать бурение в комплексе с геофизическими исследованиями. В качестве первых мероприятий рекомендуется заложение магистральных геоди- зических, буровых и шурфовых профилей в долине р.Мамы (на участке Монжана) и в долине р.Лев.Мамы в 6 км выше устья /37/.

Проектная мощность наносов здесь достигает 50 м. В южной части территории широко развиты палеозойские ин-тузии, с которыми связаны известные проявления полезных иско- емых. В группе редких металлов проявление молибдена и берилля сле- получили отрицательную оценку, однако в отношении берилля сле- дует заметить, что оснований для этого недостаточно. Необходимо в этом районе провести детальные поиски с применением берил- лометра. С нефелиновыми синтетами содержащена редкометальная ми-нерализация. По предварительной оценке, tantal-ниобиевое оруд-жение склеровального типа, связанное с зонами альбититов, заслужи- вает дальнейшего изучения. Апатитоносность щелочного массива Синий выражена недостаточно, однако открытие промышленно цен-ных апатитовых руд в значительных запасах маловероятно.

Сульфидно-никелевое оруджение таббородов мускового комплекса неперспективно из-за низкого содержания полезных минералов и отсутствия ультрасложных разновидностей город. Напротив, никеленосные зоны в периодитах Довыренского комплекса имеют поисковую ценность, поэтому детальные поиски целесообразно со- следовать в бассейне р.Орколикана. Для выявления возможности использования карбонатного сырья (известняков и доломитов) в промышленном, жилищном и дорожном строительстве, необходимо проведение специализированных работ.

ЛИТЕРАТУРА

ОПУБЛИКОВАННАЯ

1. Баранов В.А. Основные черты геологического строения северной и центральной частей Патомского нагорья в свете новых геологических и геофизических данных. - Авт.дис. на соиск. уч. степ. канд. геол.-минер. наук. Иркутск, 1969.
2. Варзалин Ю.К. и др. Геологическая карта ССР масштаба 1:200 000, серия Бодайбинская, лист 0-49-ХХI. Обыкновенная записка. "Недра", 1966.
3. Великанов Д.А., Казаков А.Н. и др. Геология северо-восточной части Северо-Байкальского нагорья. - Тр. Лабор. геол. докембрия АН СССР, вып.7, 1957.
4. Великанов Д.А., Казаков А.Н. и др. Магматические и метаморфические формации Северо-Байкальского нагорья. - В кн.: Петрография Восточной Сибири, т.П. Изд-во АН СССР, 1962.
5. Великанов Ю.М. Мамский комплекс Северо-Байкальского нагорья. Изд-во АН СССР, 1963.
6. Тюлов Е.Н. О положении мамской толщи среди докембрийских образований Северо-Байкальского и Патомского нагорий. - Докл. АН СССР, т.133, № 6, 1960.
7. Домбровский В.В. Геология Байкало-Патомского нагорья. - Тр. Вост.Сиб.Упр., вып.26, 1940.
8. Эпилков А.Н. Об абсолютном возрасте цепочных и нефелиновых стеников Северо-Байкальского нагорья. - Докл. АН СССР, 1963, т.149, № 1.
9. Золотарев А.Г. Теоморфология и геология четвертичных отложений северной части Северо-Байкальского нагорья. Р kh.: Материалы по геологии и полезным ископаемым Иркутской области, вып.1 (ХХХ). Иркутск, 1961.
10. Казаков А.Н., Соколов Ю.М. Геология орконинской серии, перекрывающей нижнепротерозойские образования центральной части Северо-Байкальского нагорья. - Тр.Лабор.геол. докембрия АН СССР, вып.7, 1957.
11. Кудинов Б.П. Геологическая карта ССР масштаба 1:200 000. Серия Бодайбинская. Лист 0-49-ХХI. Обыкновенная записка. Изд-во "Недра", 1968.
12. Мануйлова М.М., Васильковский Д.П., Гурulev С.А. Геология докембрия Северного Прибайкалья. Изд-во "Наука", 1964.
13. Павловский Е.В. Геологическая история и геологическая структура Байкальской горной страны. - Тр.ГИН АН СССР, вып.99, геол.сер. (31), 1948.
14. Родионов Г.Г. Типы слюдоносных пегматитовых жил и их промышленнаяоценка. - Тр.ВИМС, вып.4, нов.сер. Госгеотехиздат, 1959.
15. Салоп Л.И. Геологическая карта Байкальской горной области масштаба 1:500 000. Госгеотехиздат, 1959.
16. Салоп Л.И. История геологического развития докембрийской геосинклинальной системы Байкала. - В кн.: Стратиграфия и корреляция докембрия. Докл. сов.гегол. на XXI сес. МГК, проблема 9. Изд-во АН СССР, 1960.
17. Салоп Л.И. Геология Байкальской горной области. Т.1,2. "Недра", 1964, 1967.
18. Таевский В.М., Таевская З.К. Новые данные о стратиграфии Мамской кристаллической полосы. - В кн.: Материалы по геологии и полезным ископаемым Иркутской области. Вып.1 (ХХIII). Иркутск, 1961.
19. Таевский В.М. и др. Геологическая карта ССР масштаба 1:200 000, серия Бодайбинская, лист 0-49-ХХI. Обыкновенная записка. "Недра", 1964.
20. Таевский В.М. и др. Геологическая карта ССР масштаба 1:200 000, серия Бодайбинская, лист 0-49-ХХI. Обыкновенная записка. "Недра", 1964.
21. Тихонов В.Л., Ревякин Л.В. Геологическая карта ССР масштаба 1:200 000, лист 0-49-ХХI. Обыкновенная записка. Госгеотехиздат, 1959.
22. Пренов Д.У., Дубченко В.И. Местонахождение кембрийской фауны в осадочно-метаморфических породах Северо-Байкальского нагорья. - Докл.АН СССР, 1962, т.145, № 2.
23. Артемьев А.Н., Чипуков Ю.П. и др. Геологическое строение и полезные ископаемые бассейна рек Лен. и Прав.Мамы (отчет Орконинской партии по работам 1962 г.). 1963, № 07045.

У Работы, при которых не указано место хранения, находятся в геолфондах Иркутского ГГО.

24. А р т е м ь е в А.Н., Д а н и л о в с к и й В.Н. и др. Геологическое строение и полезные ископаемые бассейна р.Бол.Чуя. Отчет Орокомлянской партии по работам 1963 г. 1964, № 07314.
25. А р т е м ь е в А.Н. и др. Геологическое строение и полезные ископаемые бассейна верхнего течения рек Бол.Чуя, Налмыши и Кутулаха. Отчет Орокомлянской партии по работам 1964 г. 1965, № 07987.
26. А р т е м ь е в А.Н. и др. Геологическое строение и полезные ископаемые бассейнов верхнего течения рек Чай и Бол.Чуя. Окончательный отчет Орокомлянской партии по работам 1965-1966 гг. 1967, № 9465.
27. Б а и н о в И.Ф., Б а б у е в Ш.Д.У. и др. Геологическое строение и полезные ископаемые листов 0-49-П15-Б и 0-49-П16-А. Отчет Северо-Сындырской партии за 1962-1963 гг. 1964, № 07320.
28. Б а л х а н о в В.В. Геологическая карта СССР масштаба 1:200 000, серия Бодайбинская, лист 0-49-ХХХ. Объяснительная записка. Геофонд Бурятского ПГО. 1964.
29. В е р х о з и н Л.И., Т о к а р е в Ю.И. и др. Отчет о поисково-съемочных работах масштаба 1:50 000 (бассейн р.Мамы в Междуречье Каверга - Монжан) за 1962-1965 гг. 1966, № 08817.
30. Д е л ю х и н П.Б. Геологическая карта СССР масштаба 1:200 000, серия Бодайбинская, лист 0-49-ХХХI. Объяснительная записка. Геофонд Бурятского ПГО, 1964.
31. Д р у г о в С.И. очерк золотоносных россыпей бассейна р.Мамы. 1945, № 1718.
32. Д у б ч е н к о В.И. Геологическая карта СССР масштаба 1:200 000, серия Бодайбинская, лист 0-49-ХХХIУ. Объяснительная записка. Геофонд Бурятского ПГО, 1964.
33. Л а г е р е в С.Н., Ф и л а т о в В.Г. и др. Геологическое строение и полезные ископаемые бассейна среднего течения р.Лев.Мамы. Отчет Южно-Сындырской партии за 1962-1963 гг. 1964, № 07403.
34. М у р а ю Н.П., Ж у р а з л е в Л.М. и др. Отчет о поисково-съемочных работах масштаба 1:50 000 (бассейн рек Чуя, Дерасо, Унактыкана и Тукулаха) за 1964-1965 гг. 1966, № 08818.
35. Н и к у л и н В.И., Б а р а н о в В.А., Ко - в а л ь Н.П. и др. Результаты аэрогеофизических исследований бассейна рек Чай и Бол.Чуя. Отчет Кутимской аэрогеофизической партии за 1966 г. 1967, № 09294.

36. Т а е в с к и й В.М. Геологическое строение бассейна верхнего течения рек Чуя и Чай. Отчет о работах 2-й Чая-Байкальской партии за 1949 г. 1950, № 01693.
37. Т к а л и ч С.М., Д р у г о в С.И. и др. Отчет о работе металлогенической партии по теме: "Металлогеническая карта Саяно-Байкальской горной области". 1967, № 09557.
38. Т у м о л ь с к и й Ю.А., С и н п о в А.В. Геологическое строение и полезные ископаемые нижнего течения р.Лев.Мамы. Окончательный отчет Монжанской партии по работам 1963-1966 гг. 1966, № 08788.
39. Т у м о л ь с к и й Ю.А., В о л о ш у к и др. Окончательный отчет Шамановской партии о геологосъемочных работах масштаба 1:50 000, проведенных в 1966-1969 гг. 1970, № 10691.
40. Ф о м и н Н.И., Т и х о н о в В.Л. Новые данные по геологии Мамского района. 1964, № 7791.

Приложение 1

СПИСОК НЕПРОМЫШЛЕННЫХ МЕСТОРОЖДЕНИЙ ПОЛЕЗНЫХ ИСКОПАЕМЫХ,
ПОКАЗАННЫХ НА ЛИСТЕ О-49-ХХIII КАРТЫ ПОЛЕЗНЫХ ИСКОПАЕМЫХ
МАСШТАБА 1:200 000

Индекс клетки на кар- те	№ на кар- те	Вид полезного ископаемого и наименование месторождения	Ссылка на лице- ратуру
МЕТАЛЛИЧЕСКИЕ ИСКОПАЕМЫЕ			
Благородные металлы			
I-4	1	Золото	
ГУ-4	2	Монгольское Ортоликанское	31 31
СТРОИТЕЛЬНЫЕ МАТЕРИАЛЫ			
Карбонатные породы			
ГУ-2	7	Углокитское Лопомит	33
ГУ-2	6	Абнивзянское	33
Известняк			
Черные металлы			
Железо			
ГУ-1	4	Оленье. Верховье р. Сред. Амундакан	33
Цветные металлы			
Медь			
ГУ-1	1	Амундаканское. Истоки р. Амунда- кан	33
ГУ-2	4	Шамановское. Бас- сейн р. Таман	38
Никель			
ГУ-3	7	Селиверстовое. Левобережье р. Лев. Мамы	23
ГУ-4	3	Бериканское. Там же	23

Приложение 2

СПИСОК ПРОЯВЛЕНИЙ ПОЛЕЗНЫХ ИСКОПАЕМЫХ,
ПОКАЗАННЫХ НА ЛИСТЕ О-49-ХХIII КАРТЫ ПОЛЕЗНЫХ ИСКОПАЕМЫХ,
МАСШТАБА 1:200 000

Индекс клетки на кар- те	№ на кар- те	Вид полезного ископаемого и наименование месторождения	Ссылка на лице- ратуру	Примечание
I	2	3	4	5
МЕТАЛЛИЧЕСКИЕ ИСКОПАЕМЫЕ				
Глины магнетито- вых руд в лепешках				
Элиминильные раз- рывы				
В коренном зале- гании				
То же				

I	2	3	4	5
IУ-4	4	Жукчихинское. Исто- ки р.Укучихы	23	В коренном за- леганием То же
IУ-4	3	Водоразделное. Там же	23	
				Р е д к и е м е т а л л
				Мolibден
III-4	4	Интроудекское. Бас- сейн р.Интроудек	38	В коренном зале- гании
				Б л а г о р о д н ы е м е т а л л
IУ-4	2	Джное. Истоки р.Даокши	38	В коренном зале- гании
				Золото
				П р о я в л е н и е М у к а д а к
IУ-2	5	Малый Утюхит. Исто- ки р.Мал.Утюхит	38	В коренном зале- гании
				В коренном зале- гании
III-4	1	Бассейн р.Даокши	38	Проявление Мукадак р.Прав.Мамы
				Т о же
III-2	3	Бассейн р.Ушун	38	Далинское. Бассейн р.Дала
				Шлиховой ореол
IУ-1	3	Бассейн безымянного притока р.Лев.Мамы	38	Ореол рассеяния в альбии То же
				Вторичный ореол рассеяния (лито- геохимические по- иски)
IУ-1	2	Кедровое. Верховье р.Сред.Амнулакан	33	П-3 2,3, 4,6 II-3 I,5 Бассейн рек Неру- ды и Монцана
				Элювиальные раз- валы
IУ-2	1	Высотное. Левобере- жье р.Лев.Мамы, в 7 км выше устья р.Ушун	33	II-4 4 Восточное Бассейн р.Орколи- кан
				Шлиховой ореол

I	2	3	4	5
IУ-1	5	Длинное. Бассейн р.Сред.Амнулакан	33	В коренном зале- гании
IУ-2	2	Сухой ключ. Бассейн р.Тала	33	То же
				Б л а г о р о д н ы е м е т а л л
III-3	1	Талинское. Там же	33	"
IУ-2	3	Среднее. Бассейн р.Ниж.Амнулакан	33	"
				Золото
				П р о я в л е н и е М у к а д а к
				В коренном зале- гании
I-4	3	Правомамское. Устье р.Прав.Мамы	38	
				Т о же
I-2	1	Далинское. Бассейн р.Дала	38	"
				Шлиховой ореол
II-2	2	Бассейн р.Дала	38	
				Вторичный ореол рассеяния (лито- геохимические по- иски)
II-2	3	Там же	38	
				Элювиальные раз- валы
II-3	2,3, 4,6	Верховья р.Неруды	38	
				Шлиховой ореол
				В коренном зале- гании
III-4	3	Семеноуское про- явление	38	
				Т о же
IУ-3	1	Бассейн р.Орколи- кан	23	
				Шлиховой ореол

I	2	3	4	5
II-4	I	Бассейн р.Токмиды	23	Шлиховой ореол
НЕМЕТМЛИЧЕСКИЕ ИСКОПАЕМЫЕ				
М и н е р а л ы н е у л о б р е н и я				
III-2	I	Апатит		
	Высокое. Верхнее р. Тала	33	В коренном зале- тании	
II-2	2	Ушмунское. Бассейн р. Ушмун	33	То же
III-2	2	Верхнее. Там же	33	"
П р о ч и е н е м е т а л л и ч е с к и е и с к о п а е м ы е				
Слюдно-мусковит				
I-1	I	Ильгильякское. Ис- точки р.Ильгильяк	34	В коренном зале- тании
I-3	I	Алогоночакское. Вер- хний р.Лев. Алого- чик	34	То же
		Слюдно-Флогопит		
II-2	4	В коренном зале- тании		

Редактор И.С.Дудорова
Технический редактор С.К.Леонова
Корректор Л.П.Трензелева

Сдано в печать 27.05.81.

Подписано в печать 29.03.84.

Тираж 198 экз. Формат 60x90/16 Печ.л.6,25 Заказ 850 с

Центральное специализированное
производственное художественное предприятие
объединения "СоюзгеоЛФонд"